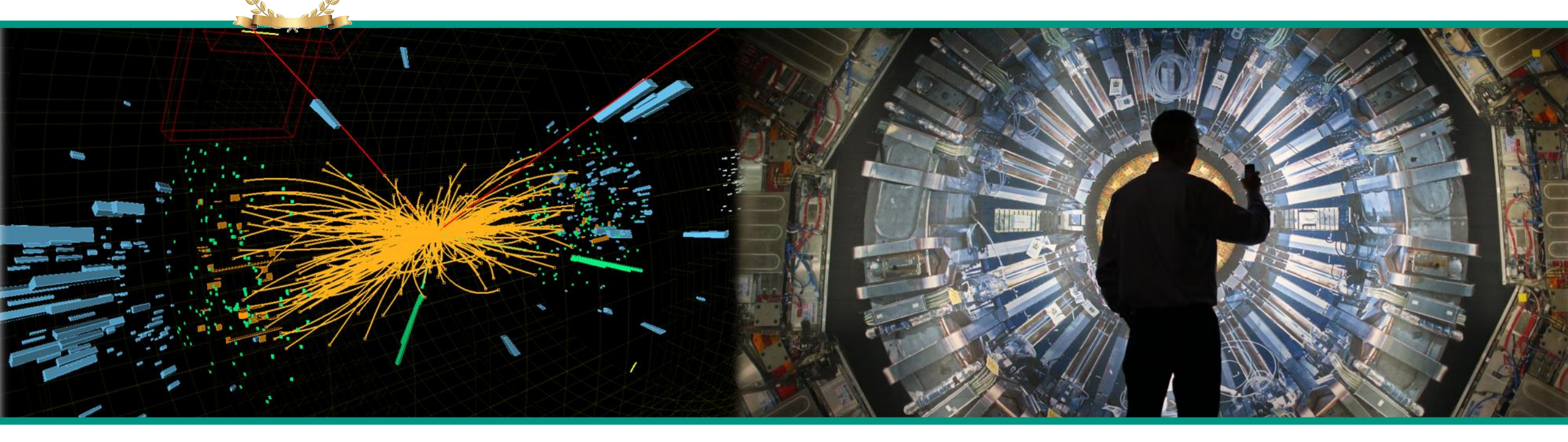


Moderne Experimentalphysik III – Teilchen und Hadronen

Vorlesung 20 6.7.2023



Recap: moderne Teilchenphysik

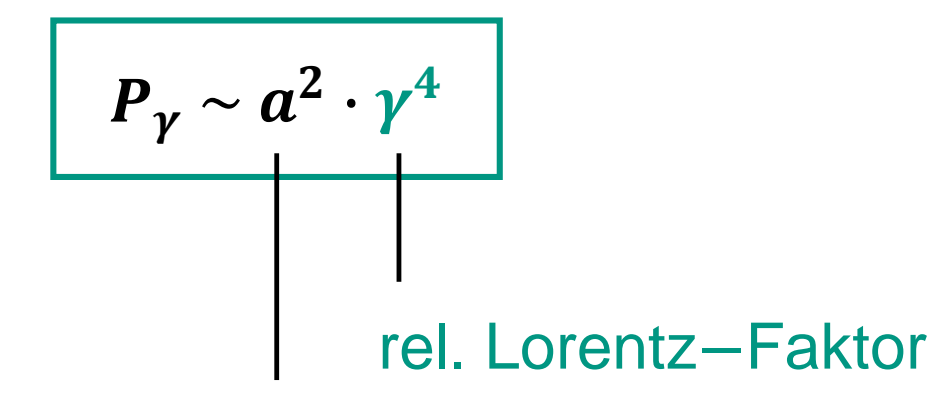


- vom GIM über CKM zur unsichtbaren Z^0 Breite & B Fabriken
 - *GIM* **Mechanismus**: Postulat des 4. Quarks c zur Unterdrückung von FCNC durch Cabibbo–Mischung von 2 Isospin–Dubletts bei $\overline{K}^0 \to \mu^+ + \mu^-$
 - CKM: 3 Quarkgenerationen 3 Euler-Winkel θ_{12} θ_{23} θ_{13} & 1 CP Phase*
 - $LEP e^+ e^-$ Collider am CERN: challenges, Linienbreite des Z^0
 - unsichtbare Linienbreite: # Neutrino-Generationen $N_{\nu}=2,984\pm0,055$
 - SuperKEKB: asymmetrischer $e^+ e^-$ Collider für $\Upsilon(4S)$ Resonanz
 - Anwendung: Synchrotronstrahlung für THz Strahlung, Bsp. KARA

Anwendungen: Synchrotronstrahlung

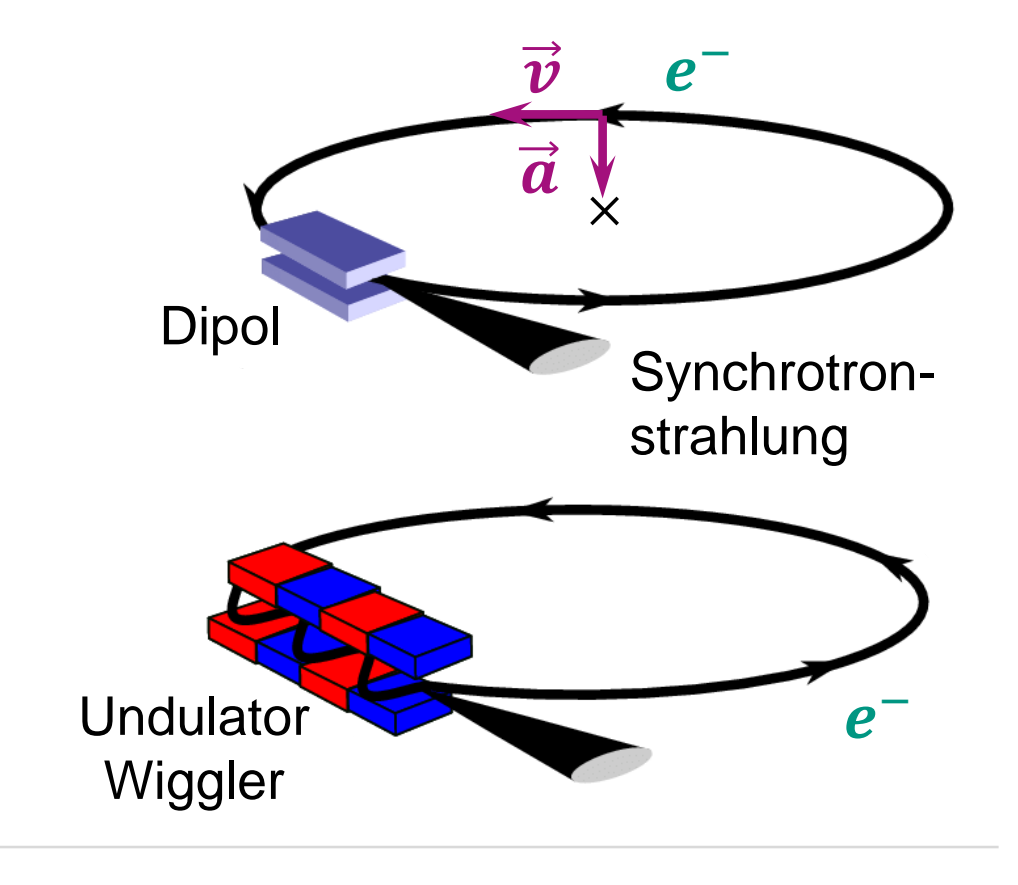


- Emission von Synchrotron-Strahlung: Grundlagen
 - Bedingung: relativistische e^- erfahren Beschleunigung $\vec{a} \perp \vec{v}$
 - abgestrahlte Leistung P_{ν}



Beschleunigung die auf e einwirkt

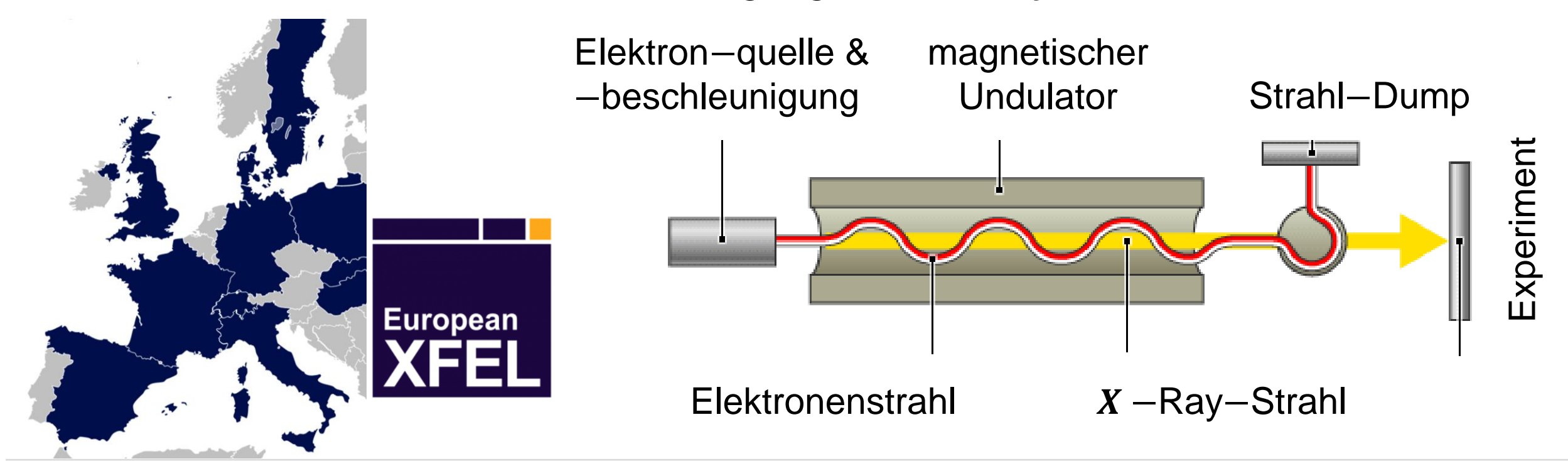
- lineare Polarisation der emittierten Strahlung



Anwendungen: Lepton-Beschleuniger



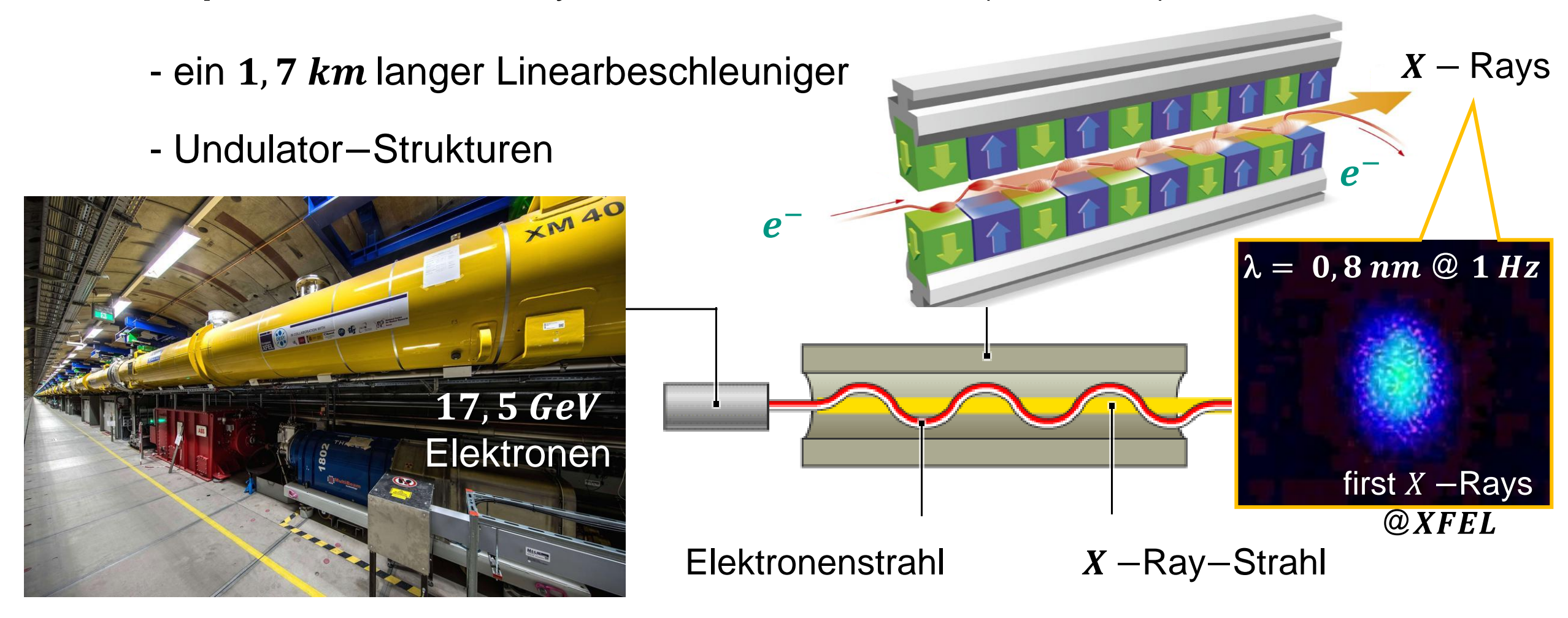
- **European** XFEL: X Ray Free Electron Laser mit Pulsdauern <math>t < 100 fs
 - ein 1,7 km langer Linearbeschleuniger am DESY für e^- mit E=17,5 GeV
 - Undulator-Strukturen zur Erzeugung von X rays mit $\lambda = 0,05$... 4,7 nm



Anwendungen: Lepton-Beschleuniger



■ European XFEL: X — Ray Free — Electron Laser (seit 2017)



Anwendungen: Lepton—Beschleuniger

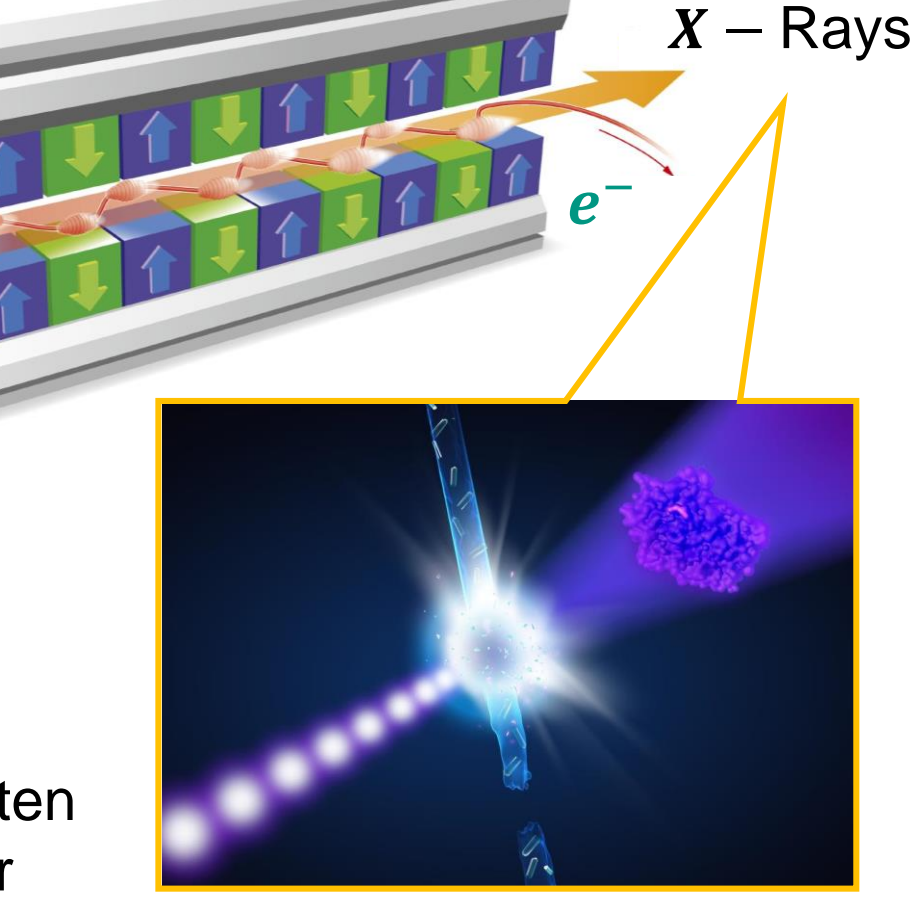


■ European XFEL: X — Ray Free — Electron Laser (seit 2017)

- 27000 Röntgenblitze/s: 3 D – Bilder
 von Molekülen, Ablauf chem. Reaktionen



Präparationsarbeiten an Probenkammer



Anwendungen: Hadron-Beschleuniger



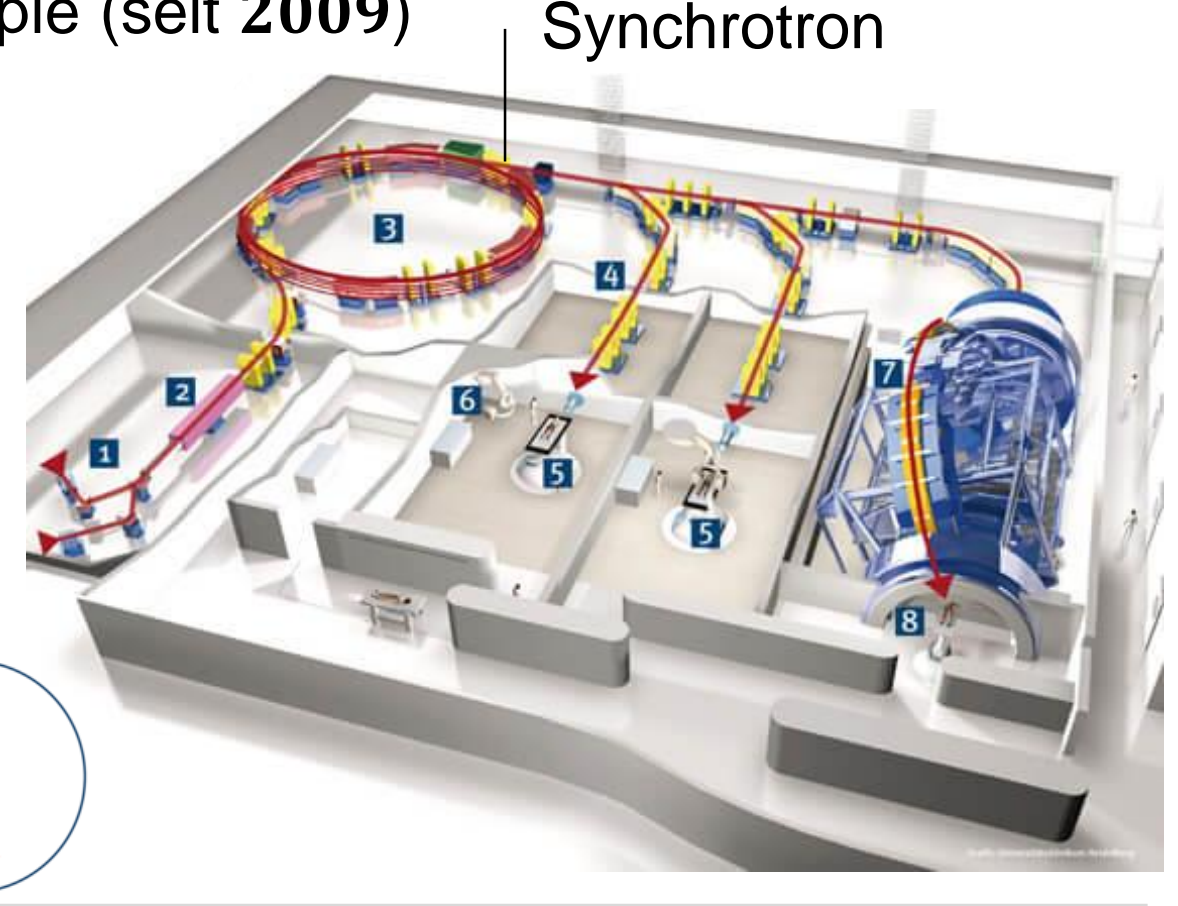
■ Therapie mit Hadronen: von Protonen zu Schwerionen

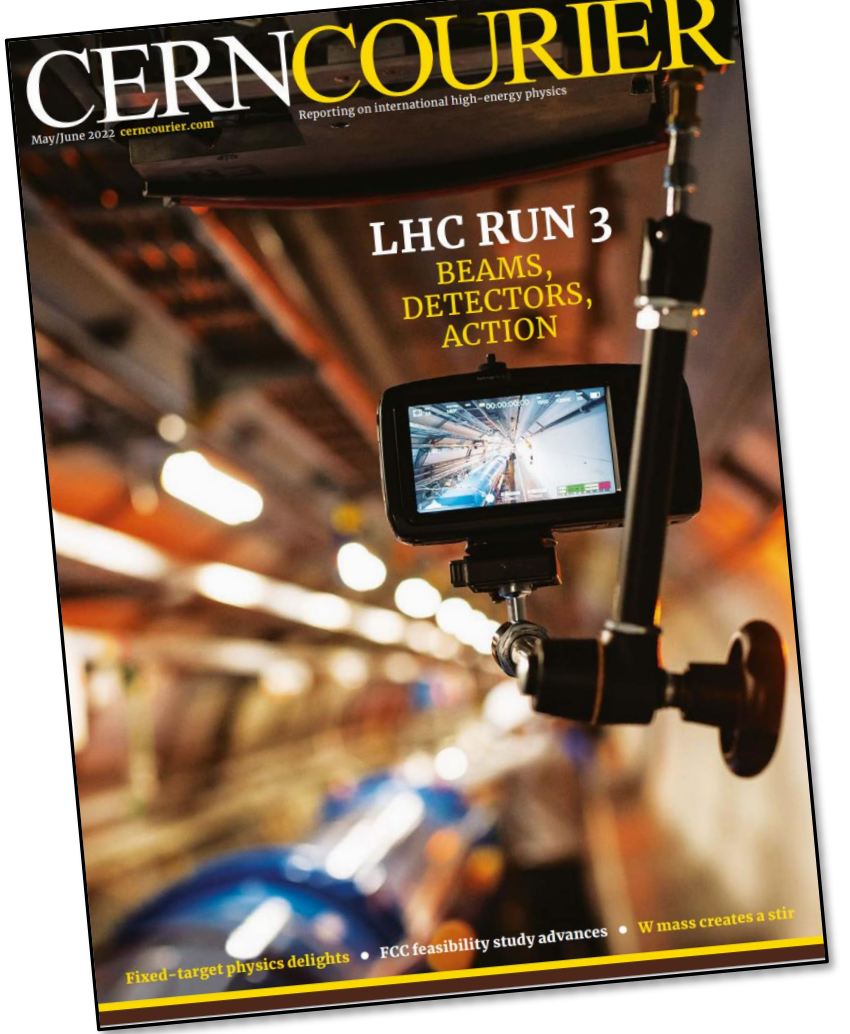
- HIT: Heidelberger-Ionenstrahl-Therapie (seit 2009)

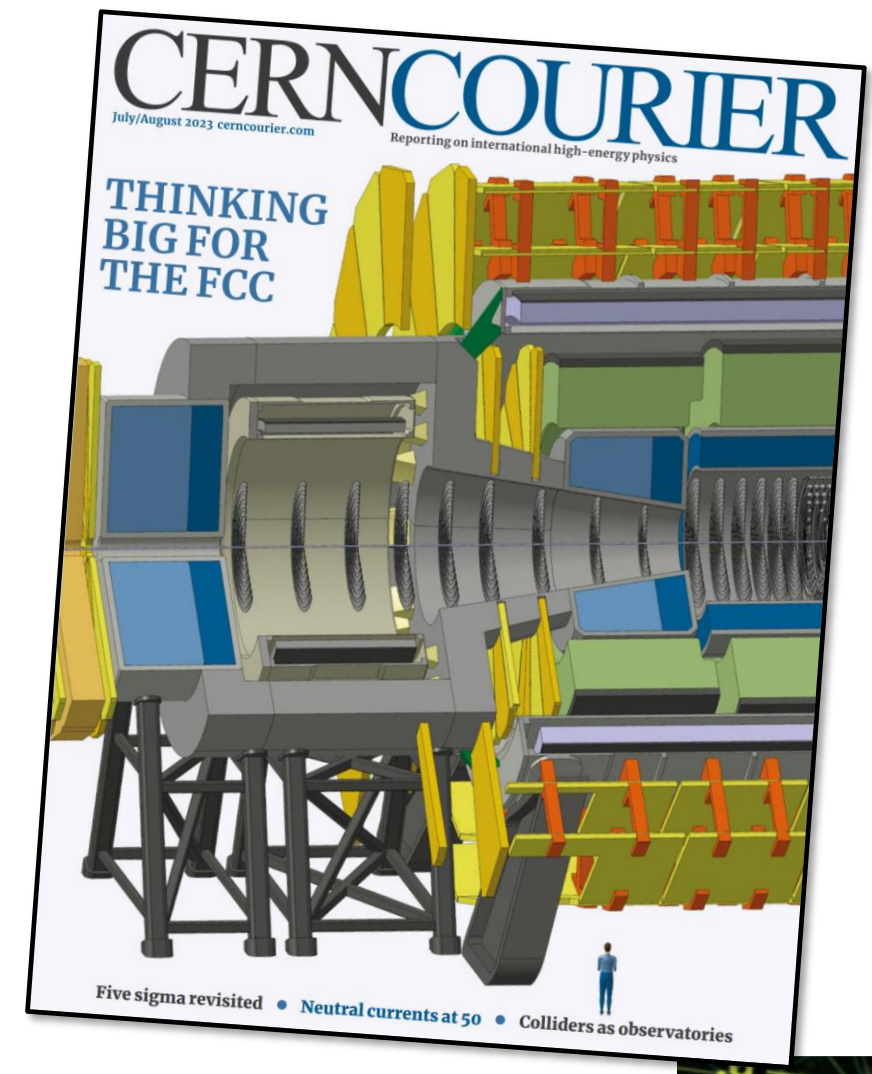
Heidelberger Ionenstrahl-Therapiezentrum

- Tumortherapie mit Protonen $E_p=48-221\,MeV$ und Schwerionen (C-12,...) Kohlenstoff: $E_{C-12}=1,06...5,16\,GeV$

- Nutzung des **Bragg**—**Peaks** bei der Energie—Deposition im Gewebe









KAPITEL 8.2: PHYSIK AN HADRON COLLIDERN

Aktuelle Fragestellungen am *LHC*



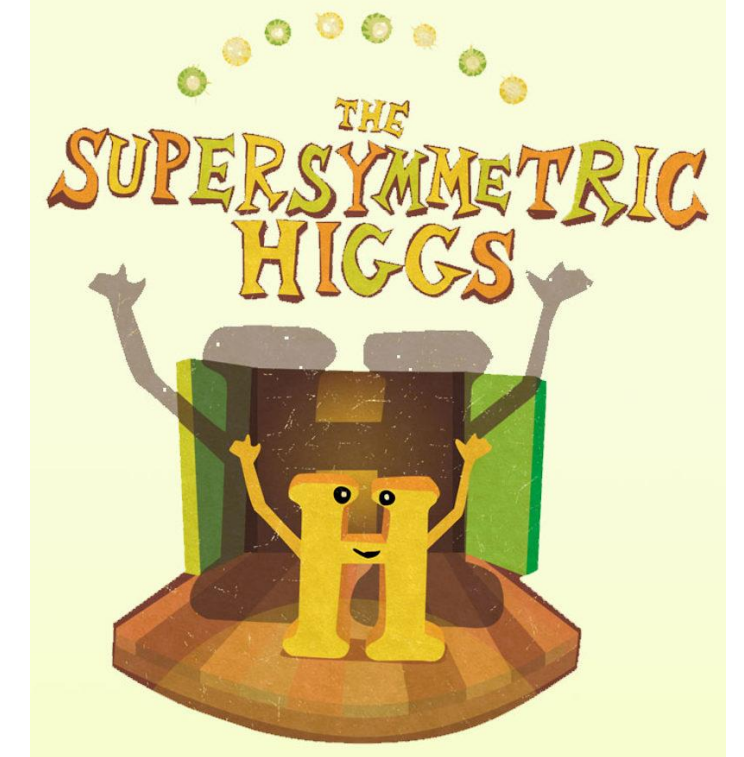
■ Erweiterte Higgs-Modelle: Suche nach weiteren skalaren Teilchen

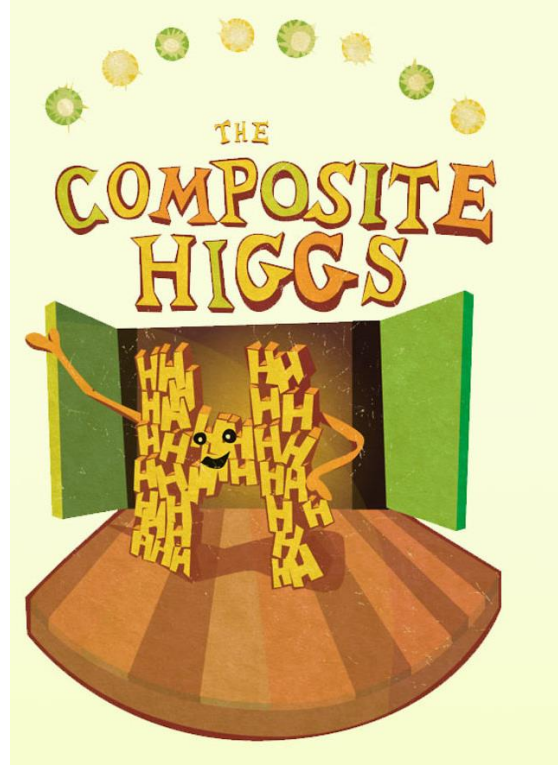
- erweiterte Modelle (Supersymmetrie) sagen 4 weitere Higgs-Zustände vorher:

intensive Suche am *LHC*

- viele weitere Modelle, in denen das Higgs nicht elementar, sondern zusammengesetzt ist





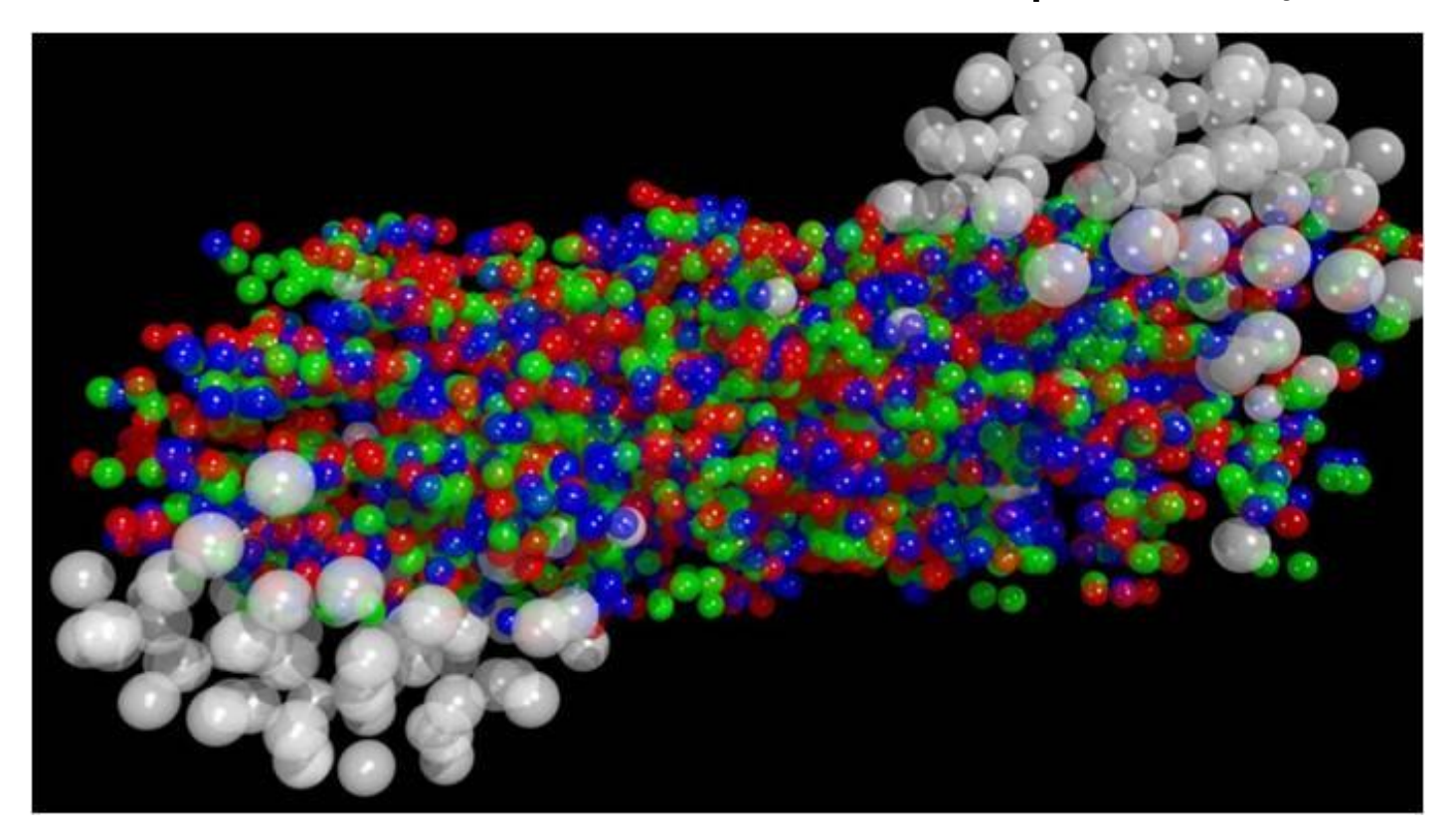


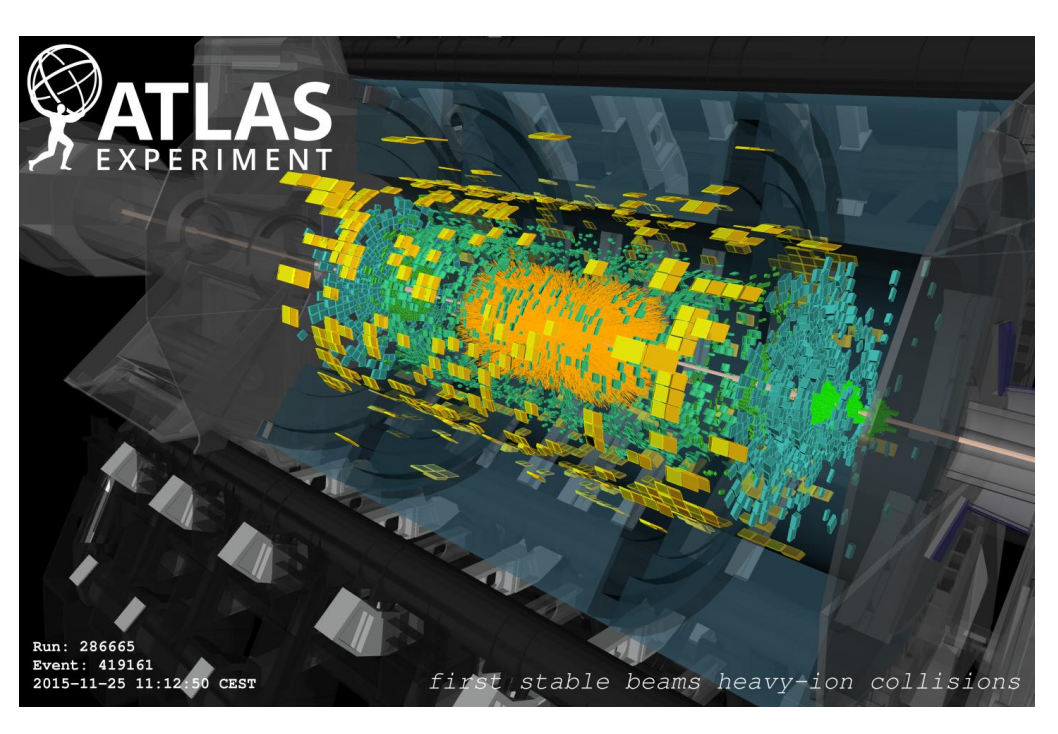
Aktuelle Fragestellungen am *LHC*



■ hohes T bzw. ρ : existiert Phasenübergang zum Quark-Gluon Plasma (QGP)?

- mit Schwerionenstößen auf der Spur des QGP





ultra-relativistische Pb – Pb –
 Kollisionen am LHC im ATLAS
 Experiment: Signal eines QGP?

Manifestation des Quark-Gluon Plasmas?



QGP

hohe

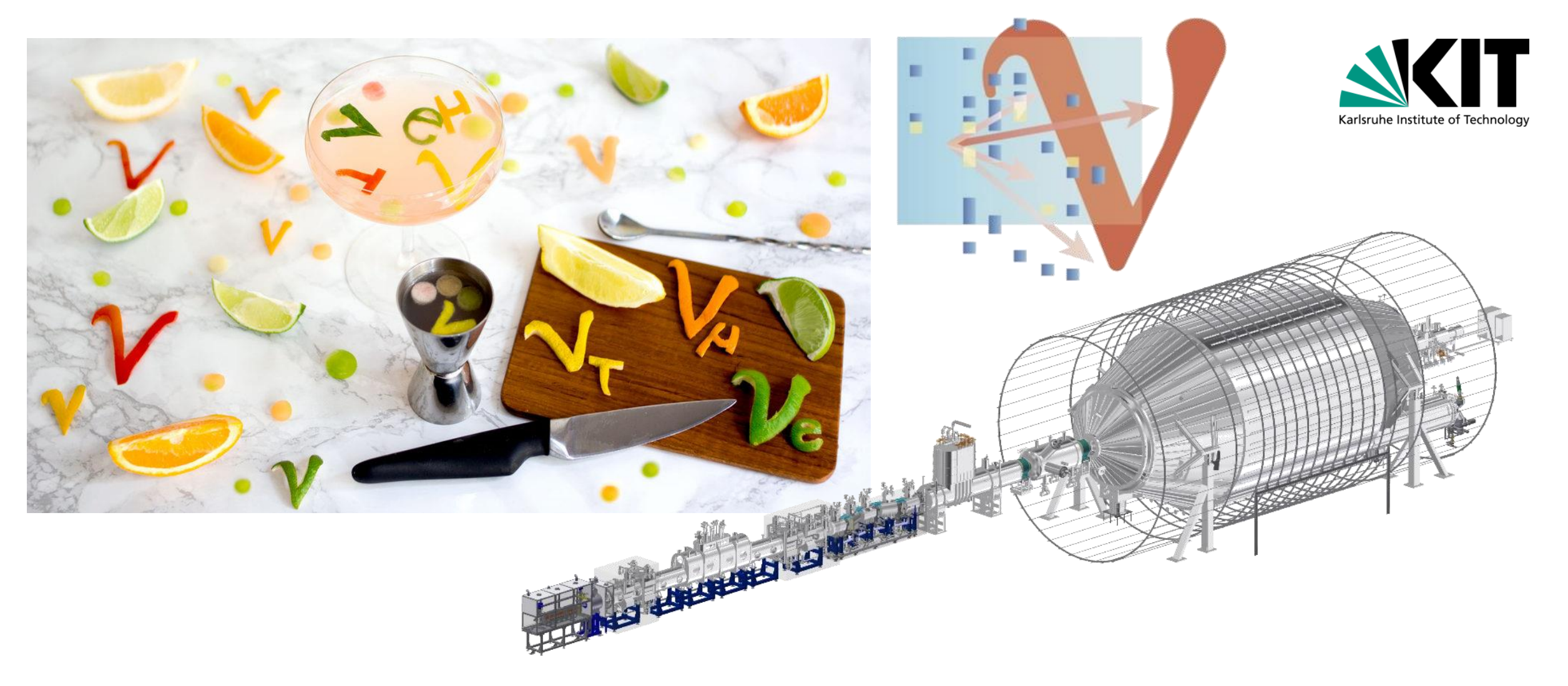
■ Materie bei niedrigem T, ρ : Quarks gebunden in Nukleonen (*Confinement*), Kernen gebunden durch QCD – Restwechselwirkung (Pion-Austausch)

- Materie unter extremen Bedingungen: *QGP*?

Temperatur Nukleonen T, ρ Stoßprozesse hohe Dichte freie q, g

Q: wikipedia,GSI, spektrum

Kerne aus p, n



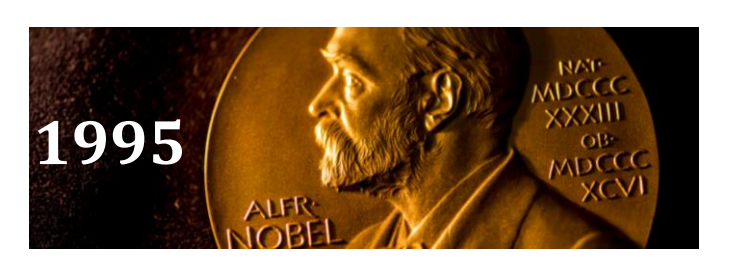
KAPITEL 8.3: NEUTRINO-PHYSIK

Mod. Ex. Phys. III VL 20 Exp. Teilchenphysik - ETP

Projekt Poltergeist: erster Nachweis des Neutrinos



- Fred Reines gelingt der lange ersehnte experimentelle Durchbruch
 - Projekt Poltergeist: der erste definitive Nachweis durch Koinzidenztechnik*



"for the detection of the **neutrino**"



6.7.2023

Herr Auge



Hanford 1954: erster Neutrinodetektor 'Herr Auge'



Fred Reines 1918-1998

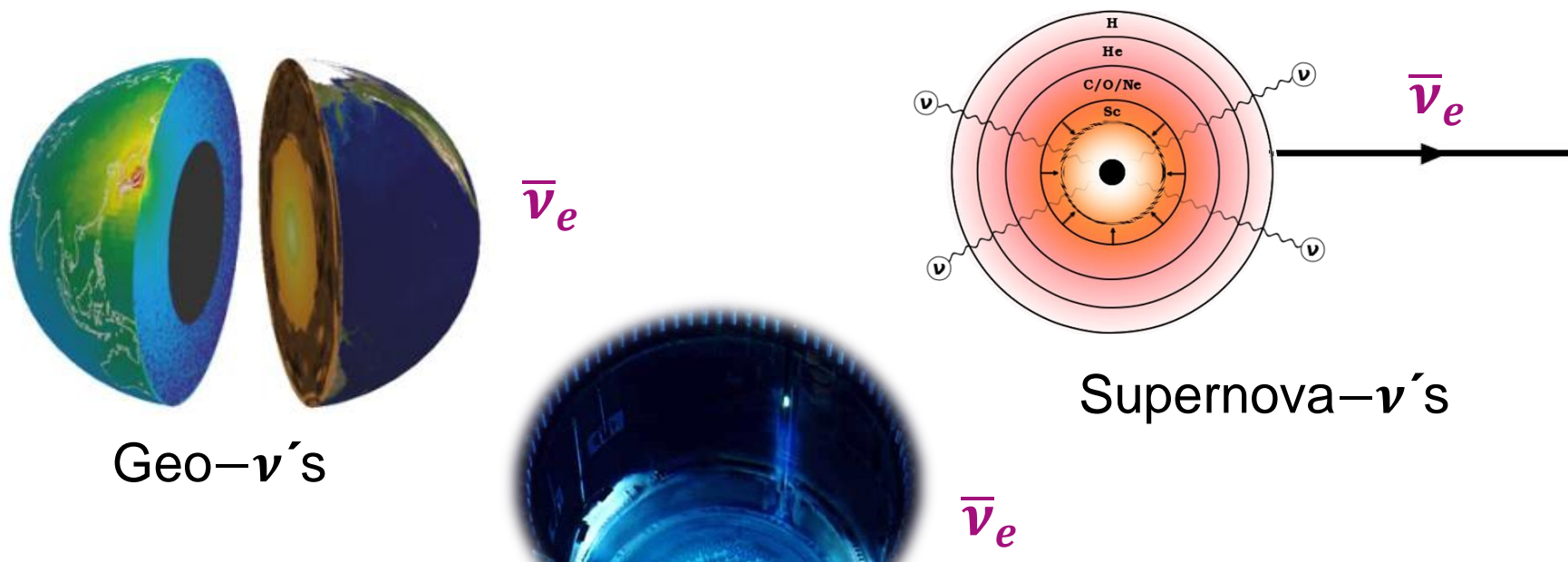
*s. VL 9 Mod. Ex. Phys. III VL 20 Exp. Teilchenphysik - ETP

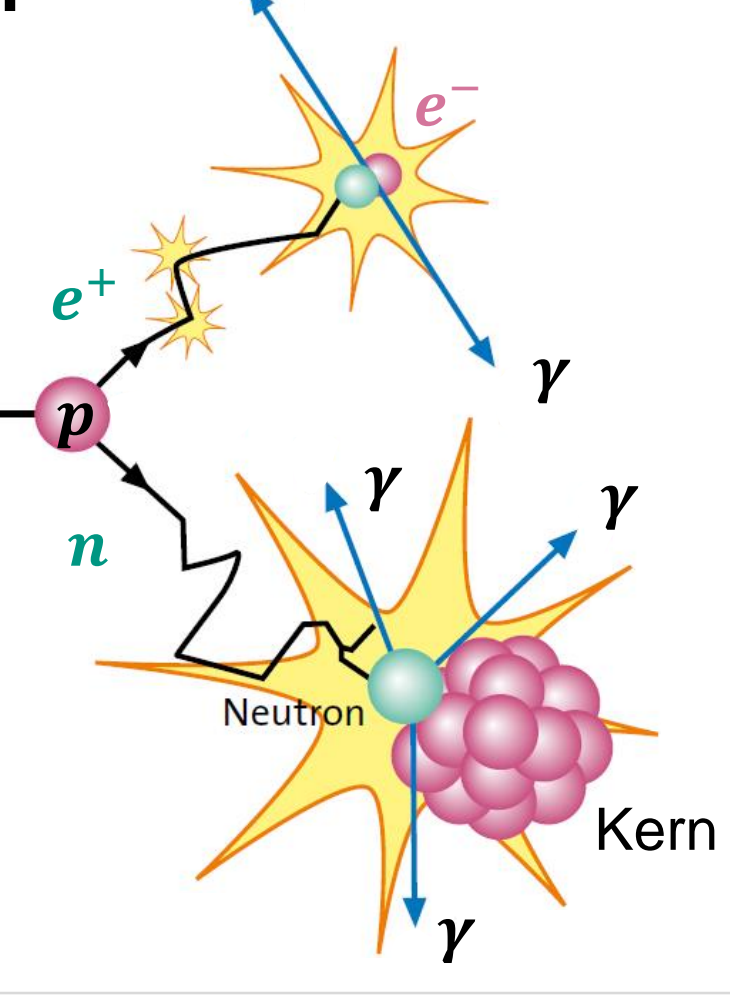
Neutrinos: Nachweisprozesse auf MeV - Skala



die 'klassische' inverse β – Zerfallsreaktion

 $\overline{\mathbf{v}}_e + p \rightarrow n + e^+ \ \sigma \sim 10^{-41} \ cm^2 \ \text{im} \ \textit{MeV} - \text{Bereich}$





Reaktor- ν 's

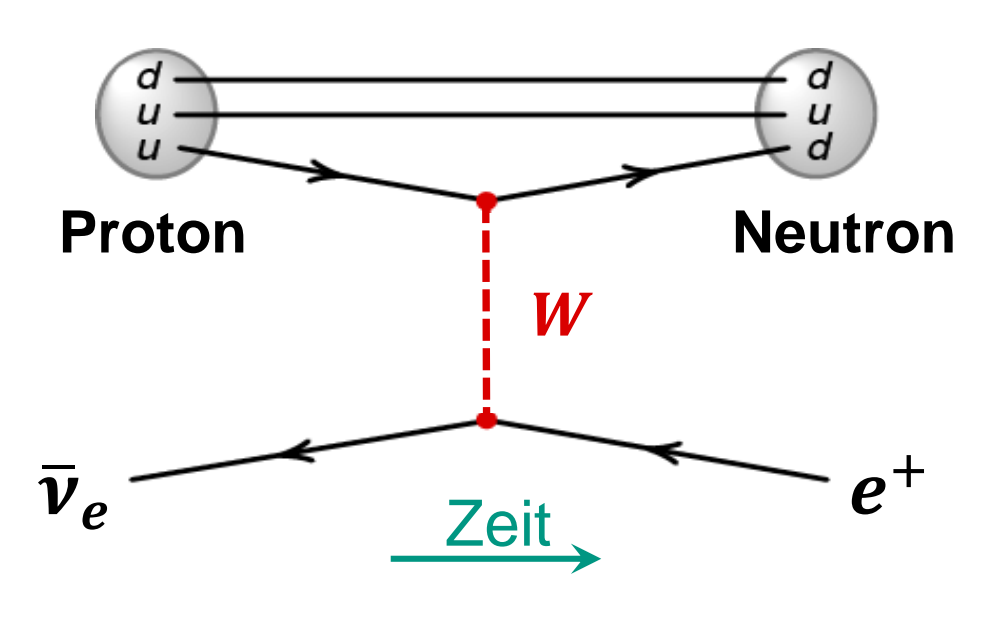
Neutrinos: Nachweisprozesse auf MeV — Skala



die 'klassische' inverse β – Zerfallsreaktion

$$\overline{v}_e + p \rightarrow n + e^+ \quad \sigma \sim 10^{-41} \ cm^2 \ \text{im} \ MeV - \text{Bereich}$$





Targets mit

freien

Protonen:



 H_2O

Nachweis der 2. Neutrino-Generation ν_{μ} am AGS^*



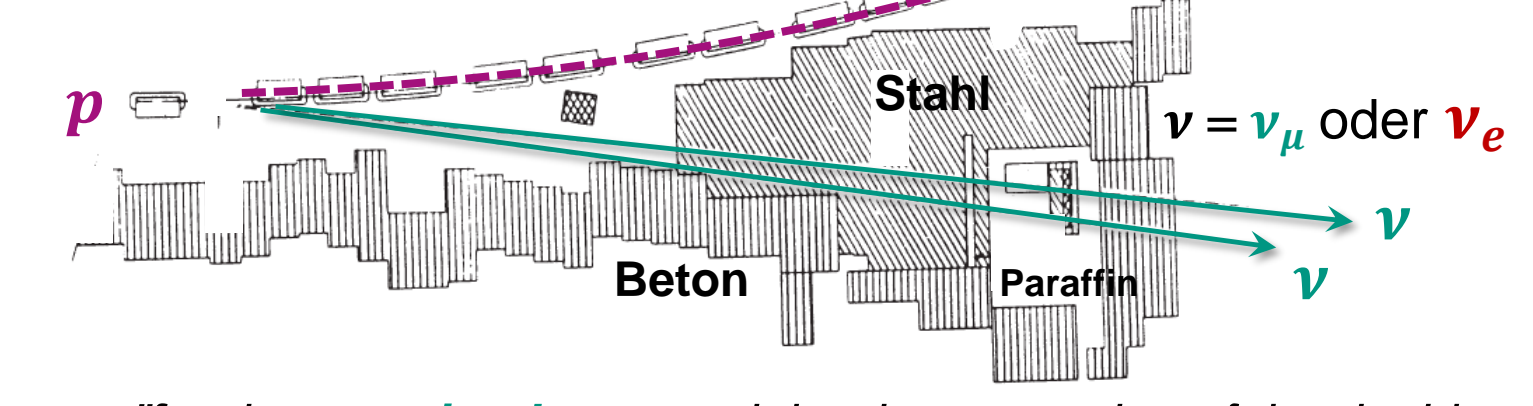
Lederman, Schwartz & Steinberger auf der Spur des Flavourzustands ν_{μ}

- Entwicklung der noch heute verwendeten Technik zur Erzeugung von Neutrinobeams ν_{μ}

- *p* − Strahl trifft auf Target: Zerfall $\pi^+ \rightarrow \mu^+ + \nu_{\mu}$

- Beobachtung: im ν – Strahl werden nur μ^- erzeugt!

Mod. Ex. Phys. III VL 20



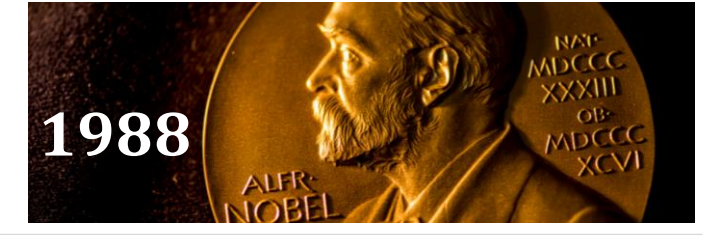






"for the neutrino beam and the demonstration of the doublet structure of the leptons through the discovery of the muon neutrino"

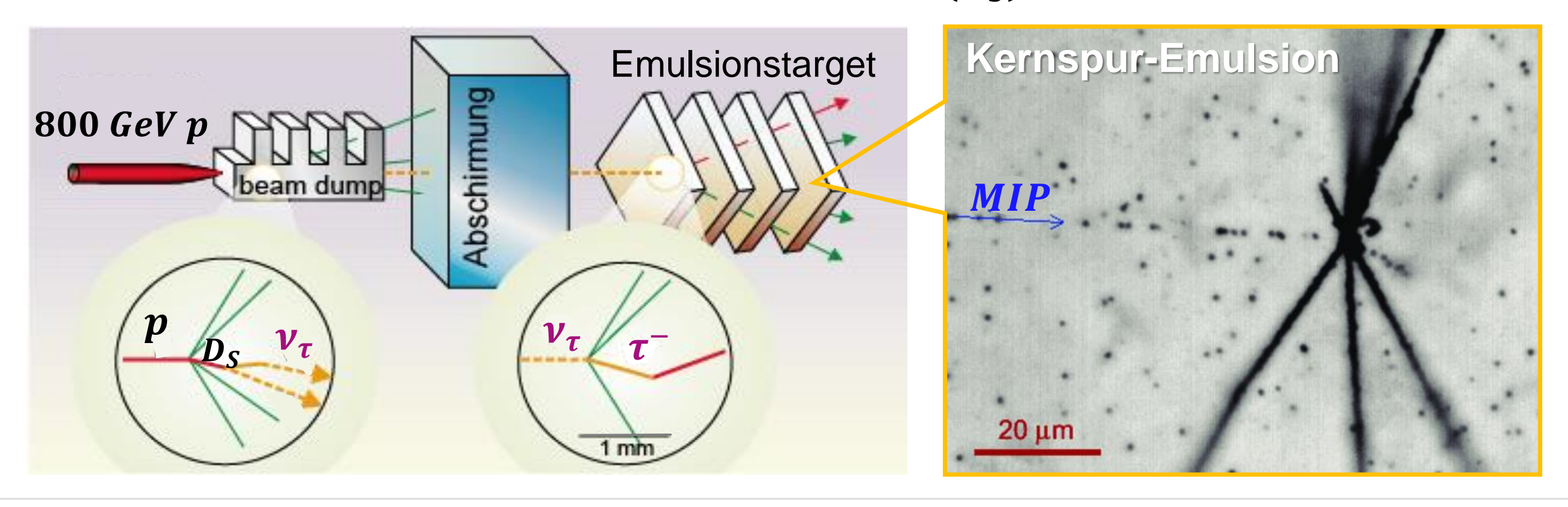
Leon Lederman, Mel Schwartz, Jack Steinberger



Nachweis der 3. ν – Generation am Fermilab



- Direkter Nachweis des ν_{τ} durch das $DONUT^*$ Experiment
 - **Fermilab**: hochenergetischer (50 GeV) Strahl von ν_{τ} aus Zerfällen von Mesonen mit Charm c – Quarks (D_S)



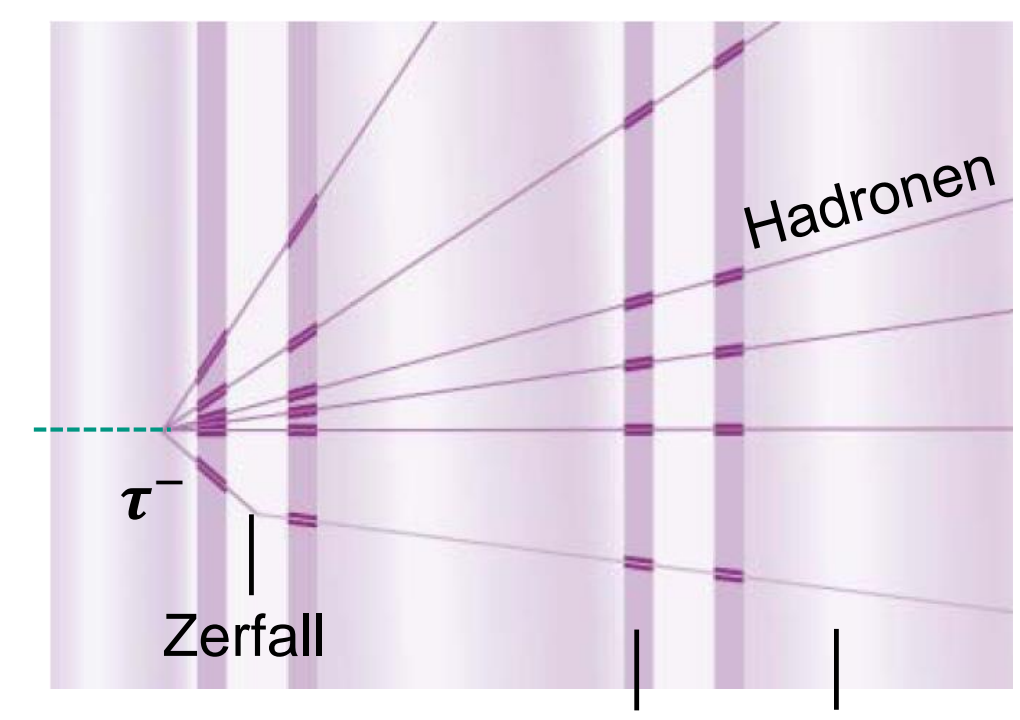
Mod. Ex. Phys. III VL 20

Nachweis der 3. ν – Generation am Fermilab



- Direkter Nachweis des v_{τ} durch das $DONUT^*$ Experiment
 - Nachweis der v_{τ} in 'Sandwich'-Struktur aus Kernemulsion / Edelstahl
 - wichtig: weiteres Detektor-System aus Szintillatoren & Spurdetektoren zum Nachweis der Spuren geladener Teilchen
 - Spursystem identifiziert 'interessante' Ereignisse → Entwicklung der Emulsion

- 1997: 4 Signalereignisse aus ν_{τ} mit $N_{bg} = (0, 35 \pm 0, 05)$ d.h. $3, 5 \sigma$

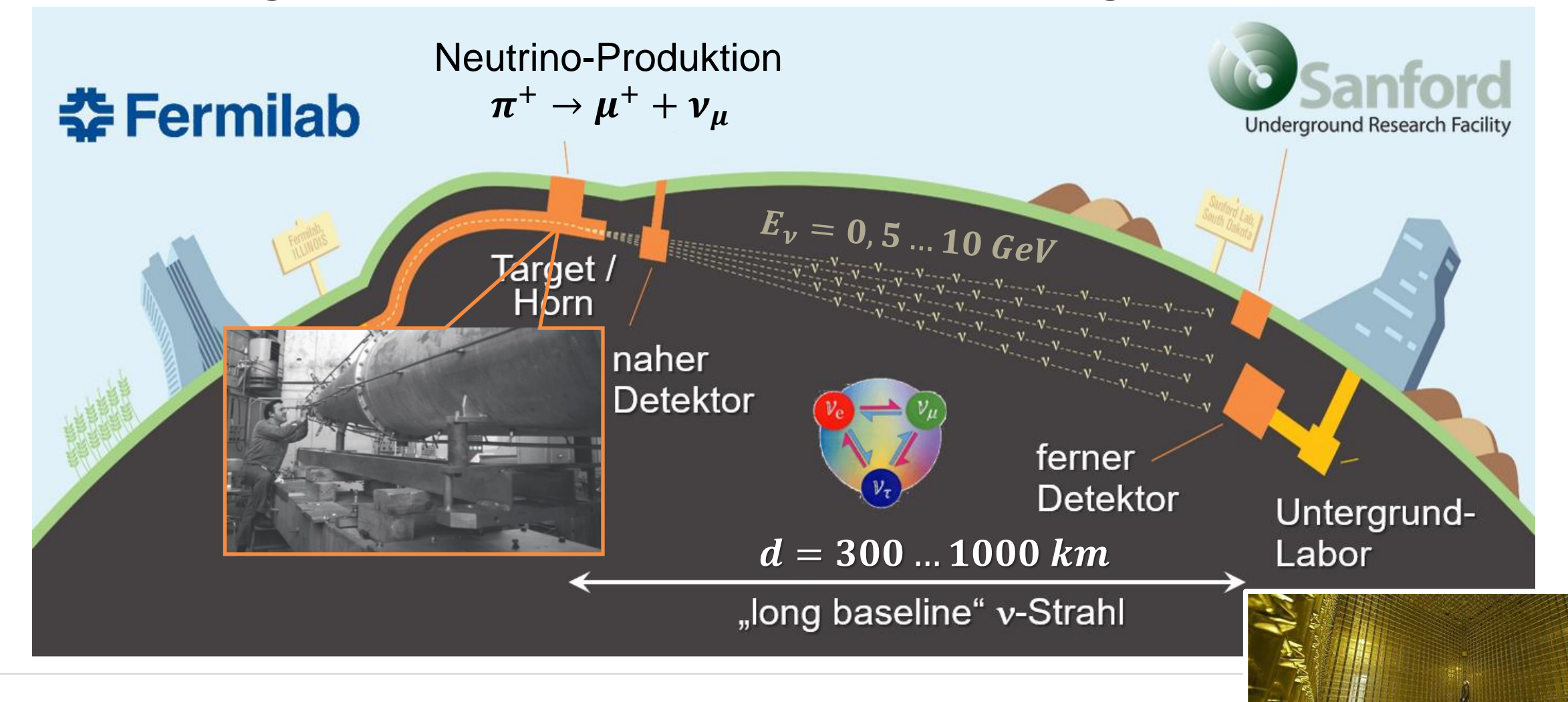


100 μm Film-Emulsion + 1 mm Stahl

Beschleuniger-Neutrinos



■ eine wichtige Neutrino—Quelle zum Studium ihrer Eigenschaften



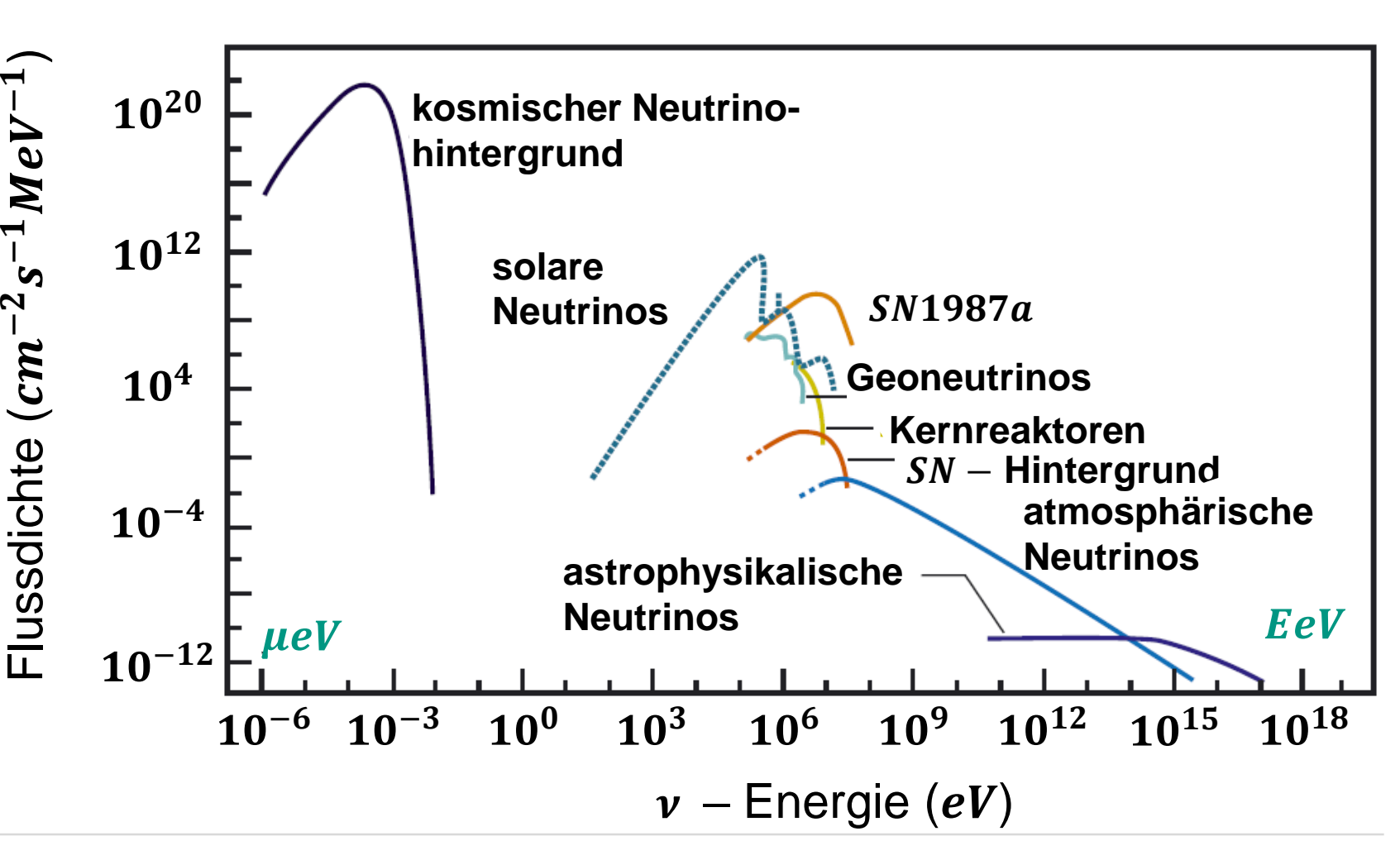
Neutrinos aus dem Kosmos



\blacksquare ein breites Energiespektrum von μeV bis zu EeV

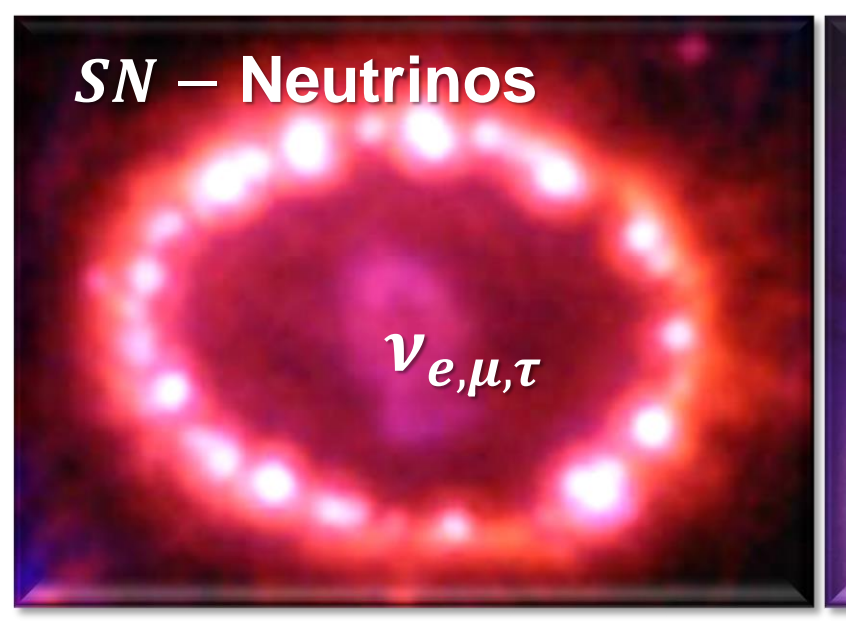
v´s als Messengers:
 Information aus
 den ´verborgenen´
 Regionen im Kosmos





Neutrinos aus dem Kosmos

- \blacksquare ein breites Energiespektrum von μeV bis zu EeV
- v´s als Messengers:
 Information aus
 den ´verborgenen´
 Regionen im Kosmos
- ν´s als Messengers:
 Information über
 ihre ´verborgenen´
 inneren Eigenschaften –
 ⇒ neue Physik jenseits
 des Standardmodells





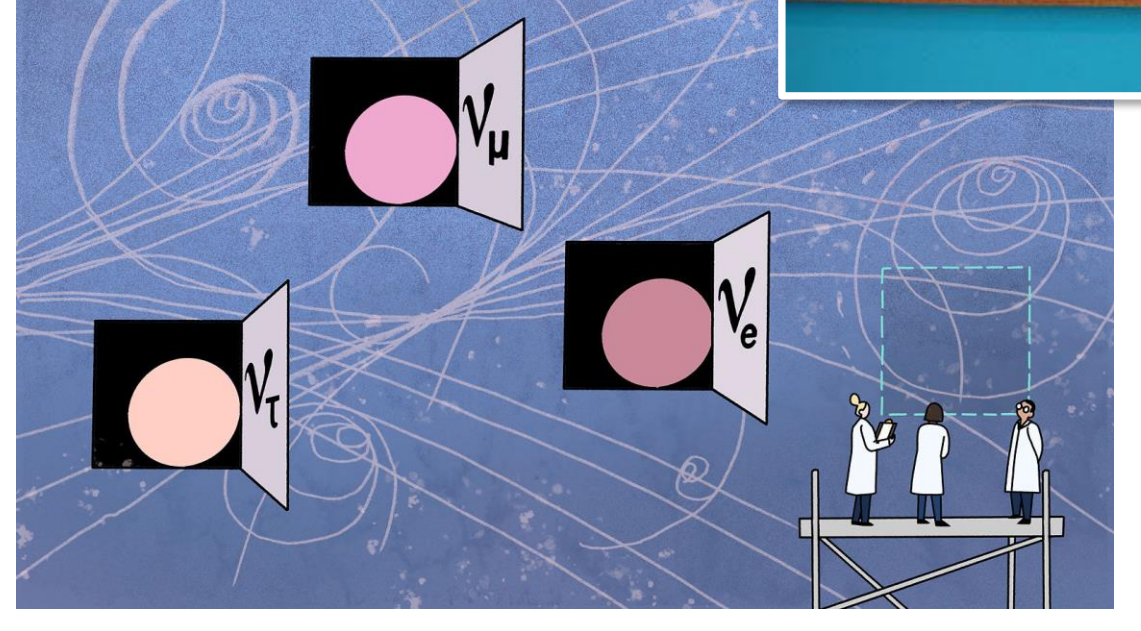












KAPITEL 8.4: NEUTRINOS — OSZILLATIONEN UND MASSE

Mod. Ex. Phys. III VL 20 Exp. Teilchenphysik - ETP

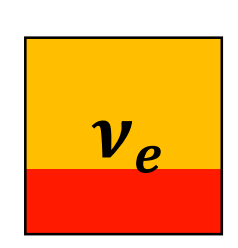
Neutrino-Oszillation: Grundlagen



■ Masseneigenzustände $(\nu_1, \nu_2) \neq \text{Flavour} - \text{Eigenzustände} (\nu_e, \nu_\mu)$

2 -Flavour-Mischung:

enge Analogie zur *CKM* – **Mischung** der linkshändigen Quarks

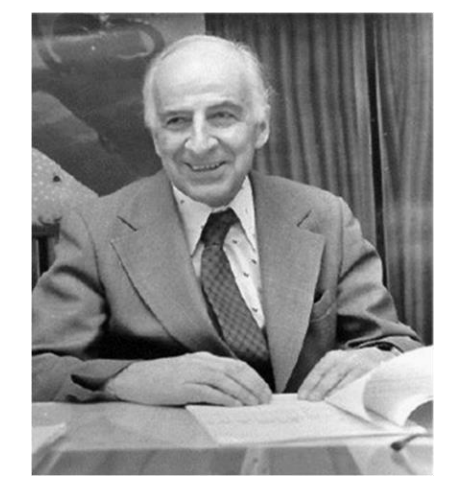






 ν_1

 ν_2

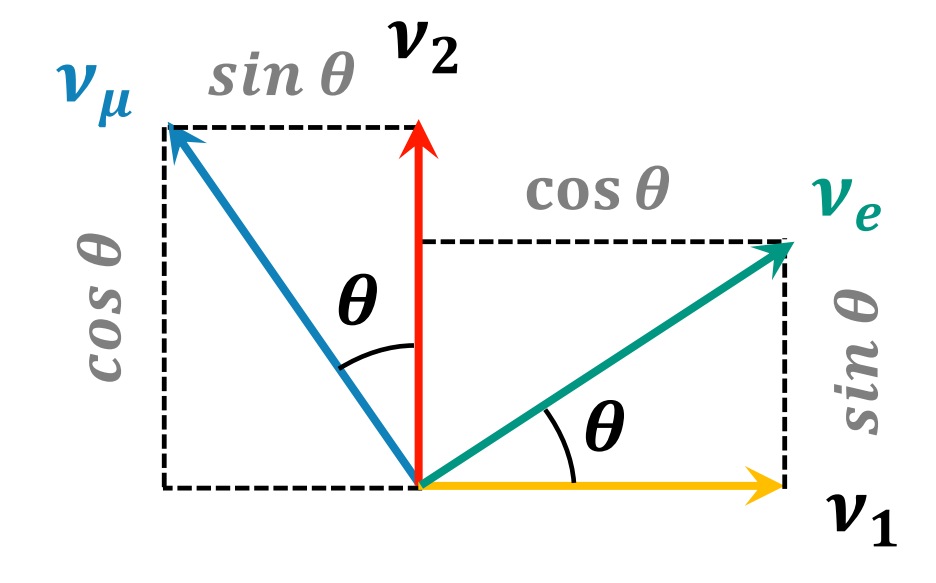


Bruno Pontecorvo

Flavourzustände

$$\begin{pmatrix} \mathbf{v}_e \\ \mathbf{v}_{\mu} \end{pmatrix} = \begin{pmatrix} \cos\theta & \sin\theta \\ -\sin\theta & \cos\theta \end{pmatrix} \cdot \begin{pmatrix} \mathbf{v}_1 \\ \mathbf{v}_2 \end{pmatrix}$$

Massenzustände



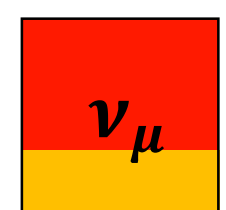
Neutrino-Oszillation: Grundlagen

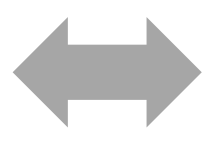


■ Masseneigenzustände $(\nu_1, \nu_2) \neq \text{Flavour} - \text{Eigenzustände } (\nu_e, \nu_{\mu})$

2 -Flavour-Mischung bei Propagation:

 u_e

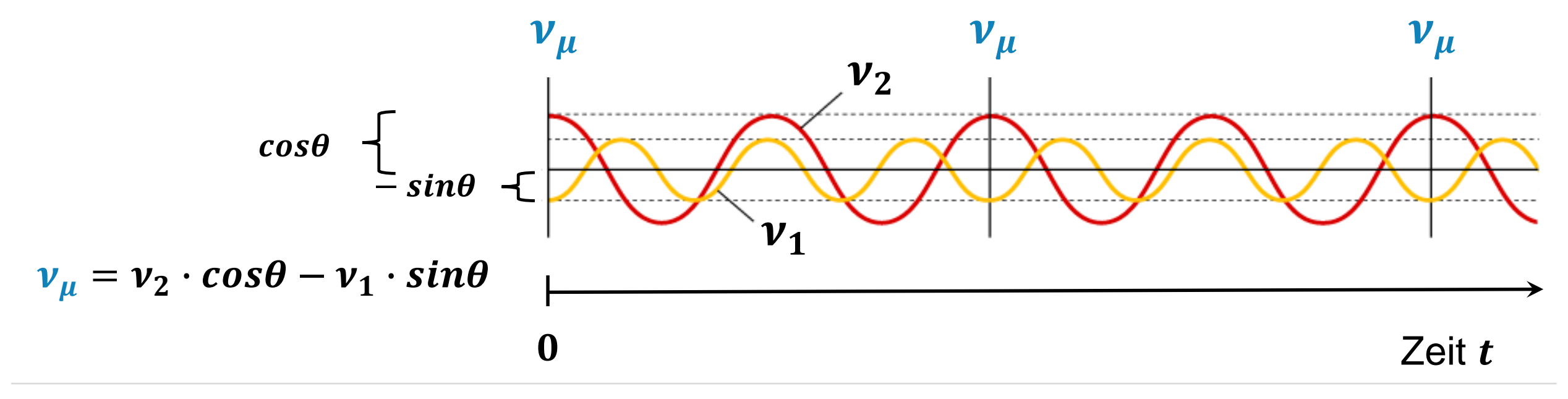




'1

 ν_2

Überlagerung von (ν_1, ν_2) : Oszillation zwischen (ν_e, ν_μ)

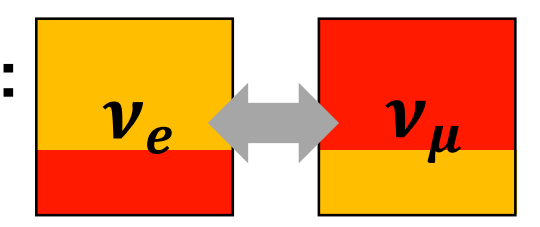


Neutrino-Oszillation: Grundlagen



■ Masseneigenzustände $(\nu_1, \nu_2) \neq \text{Flavour-Eigenzustände} \left(\nu_e, \nu_{\mu}\right)$

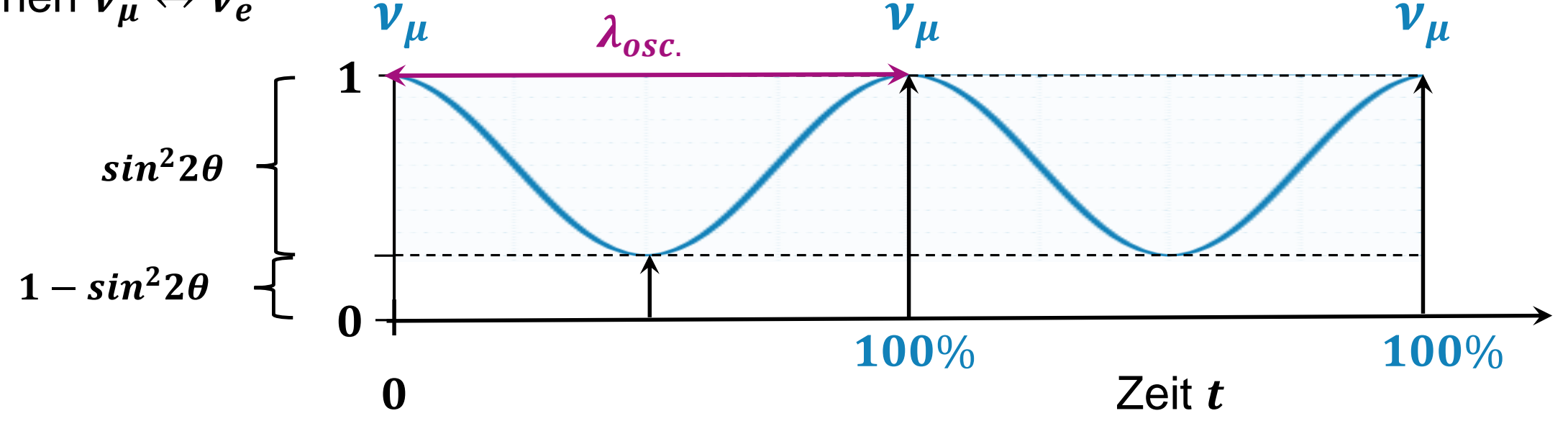
2 -Flavour-Mischung bei Propagation:



Periodische Variation der

 ν_{μ} – Intensität, da Flavour-





Neutrino-Oszillation: 2 - Flavour - Formel



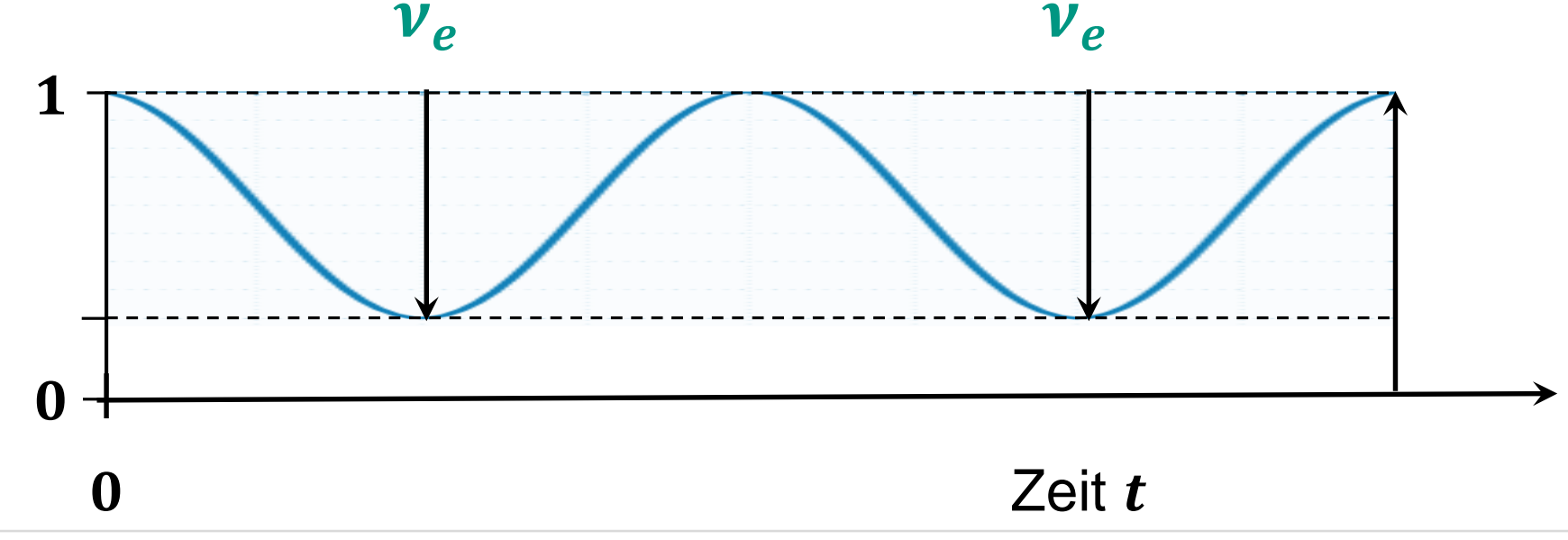
■ Wahrscheinlichkeit *P* für das Aufauchen (*'appearance'*) eines neuen Flavours

Parameter:

- Mischungswinkel *\theta*
- Massenparameter

$$\Delta m^2 = \left| \begin{array}{c} m_1^2 - m_2^2 \end{array} \right|$$
 mit m_1 von u_1 m_2 von u_2 $sin^2 2 heta$

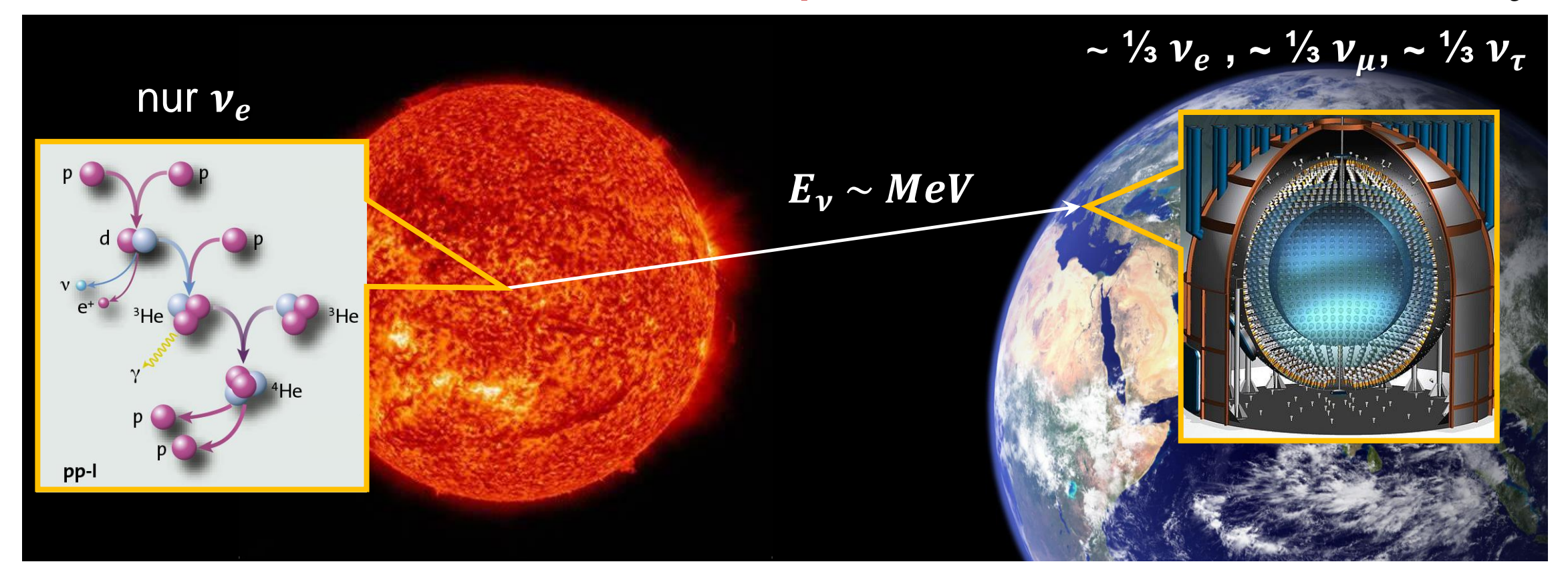
$$P(\nu_{\mu} \rightarrow \nu_{e}) = \sin^{2}2\theta \cdot \sin^{2}\left(1,27 \cdot \Delta m^{2} \cdot \frac{L_{\nu}}{E_{\nu}}\right) - \text{in } meV$$



Neutrino-Oszillation: solare & atmosphärische v's 🔰 🚺



- **große Mischungseffekte bei den solaren** ν 's*
 - viele Jahrzehnte: 'solares Neutrinoproblem', d.h. deutliches Defizit an ν_e

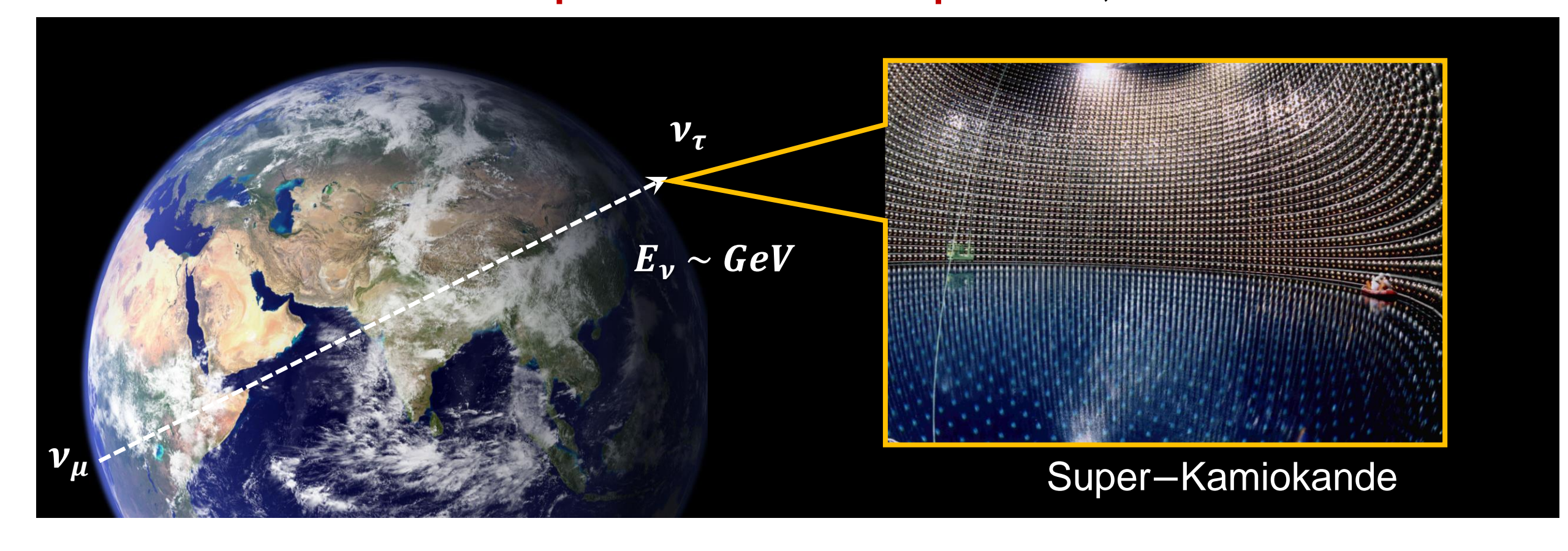


27

Neutrino-Oszillation: solare & atmosphärische v's 🔰 🚺



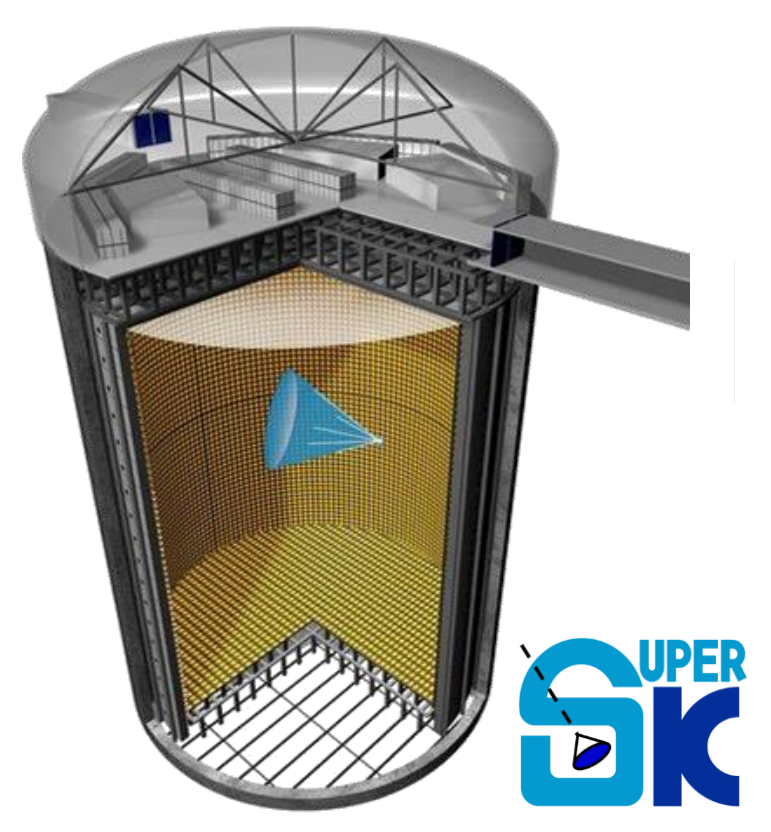
- maximale Mischungseffekte bei den atmosphärischen ν 's*
- viele Jahrzehnte: 'atmosphärisches Neutrinoproblem', d.h. Flavouranomalie



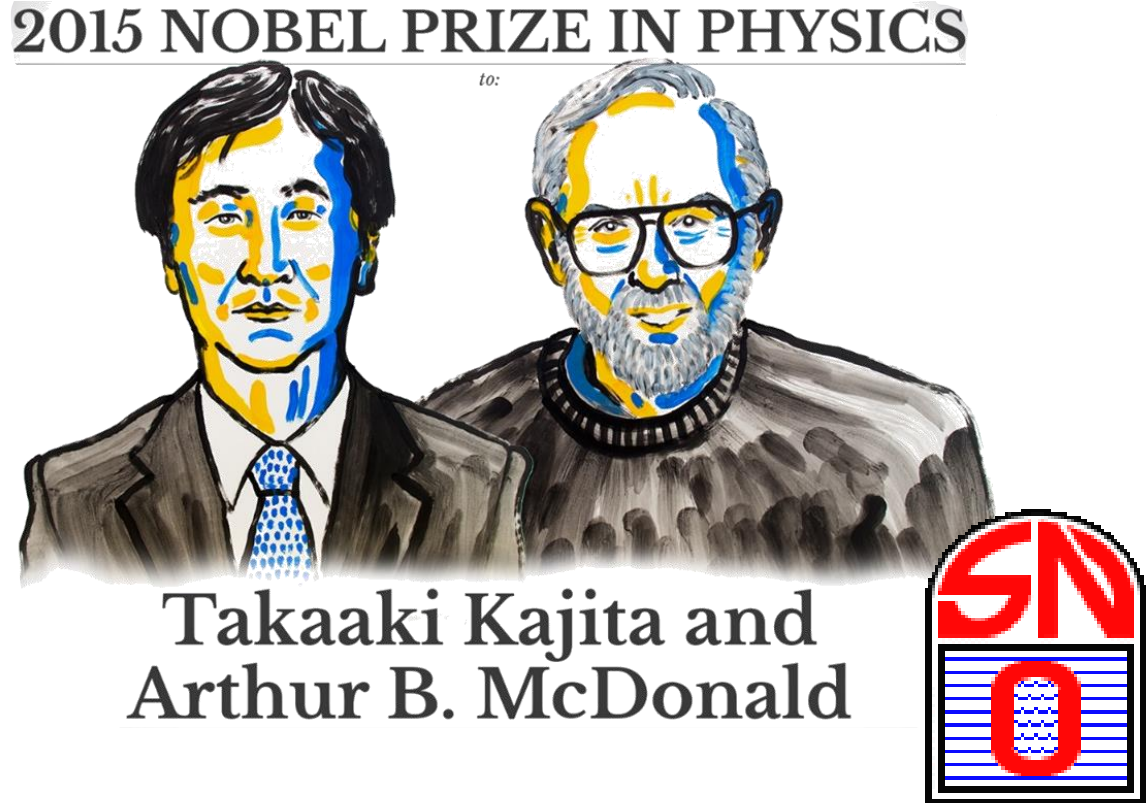
ν — Oszillationen: Nobelpreis 2015

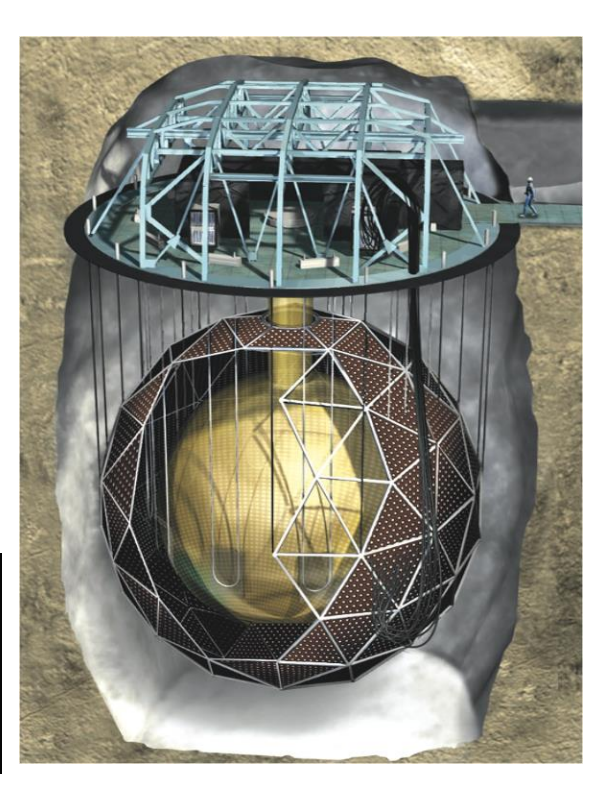


■ Implikation – Teil II: erste Physik jenseits des Standardmodells



6.7.2023



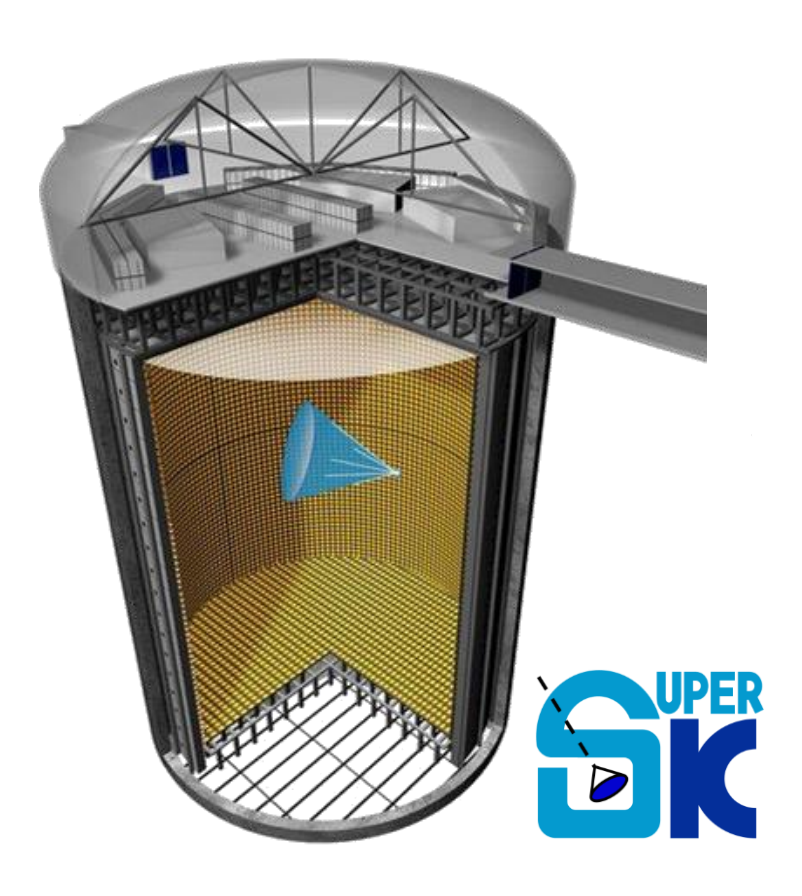


Mod. Ex. Phys. III VL 20 Exp. Teilchenphysik - ETP

ν — Oszillationen: Nobelpreis 2015



■ Implikation – Teil II: erste Physik jenseits des Standardmodells



6.7.2023



Takaaki



im kl. HS A



Mod. Ex. Phys. III VL 20 Exp. Teilchenphysik - ETP

Master-VL: Leptonische Mischungsmatrix



■ Matrix 'entkoppelt' wie bei den Quarks in 3 separate Mischungsterme

$$\begin{bmatrix} c_{12} & s_{12} & 0 \\ -s_{12} & c_{12} & 0 \\ 0 & 0 & 1 \end{bmatrix} \cdot \begin{bmatrix} 1 & 0 & 0 \\ 0 & c_{23} & s_{23} \\ 0 & -s_{23} & c_{23} \end{bmatrix} \cdot \begin{bmatrix} c_{13} & 0 & s_{13}e^{-i\delta} \\ 0 & 1 & 0 \\ -s_{13}e^{-i\delta} & 0 & c_{13} \end{bmatrix} \quad c_{ij} = \cos \theta_{ij}$$

$$\delta = CP -$$

- $\delta = CP$ verletzende Phase

- 1. & 2. Generation
- 2. & 3. Generation

1. & 3. Generation

$$\nu_e \Leftrightarrow \nu_\mu$$

$$u_{\mu} \Leftrightarrow \nu_{\tau}$$

$$u_e \Leftrightarrow
u_{ au}$$

$$sin^2 2\theta_{12} = 0.861$$
 $sin^2 2\theta_{23} = 0.97$ $sin^2 2\theta_{23} = 0.10$

$$sin^2 2\theta_{23} = 0.97$$

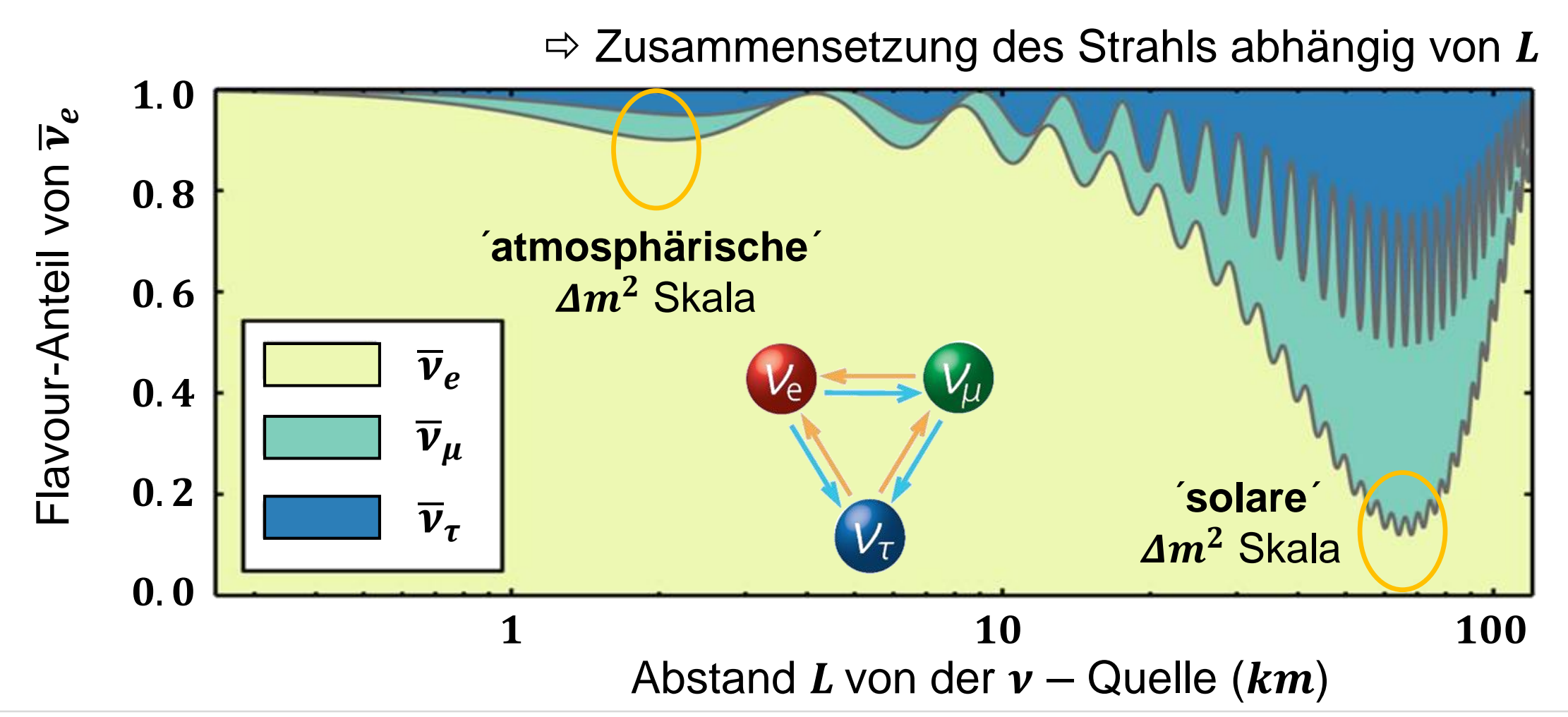
$$sin^2 2\theta_{23} = 0,10$$

- erste Hinweise auf deutliche *CP* — Verletzung bei den neutralen Leptonen

Master-VL: 3 -Flavour-Mischungseffekte



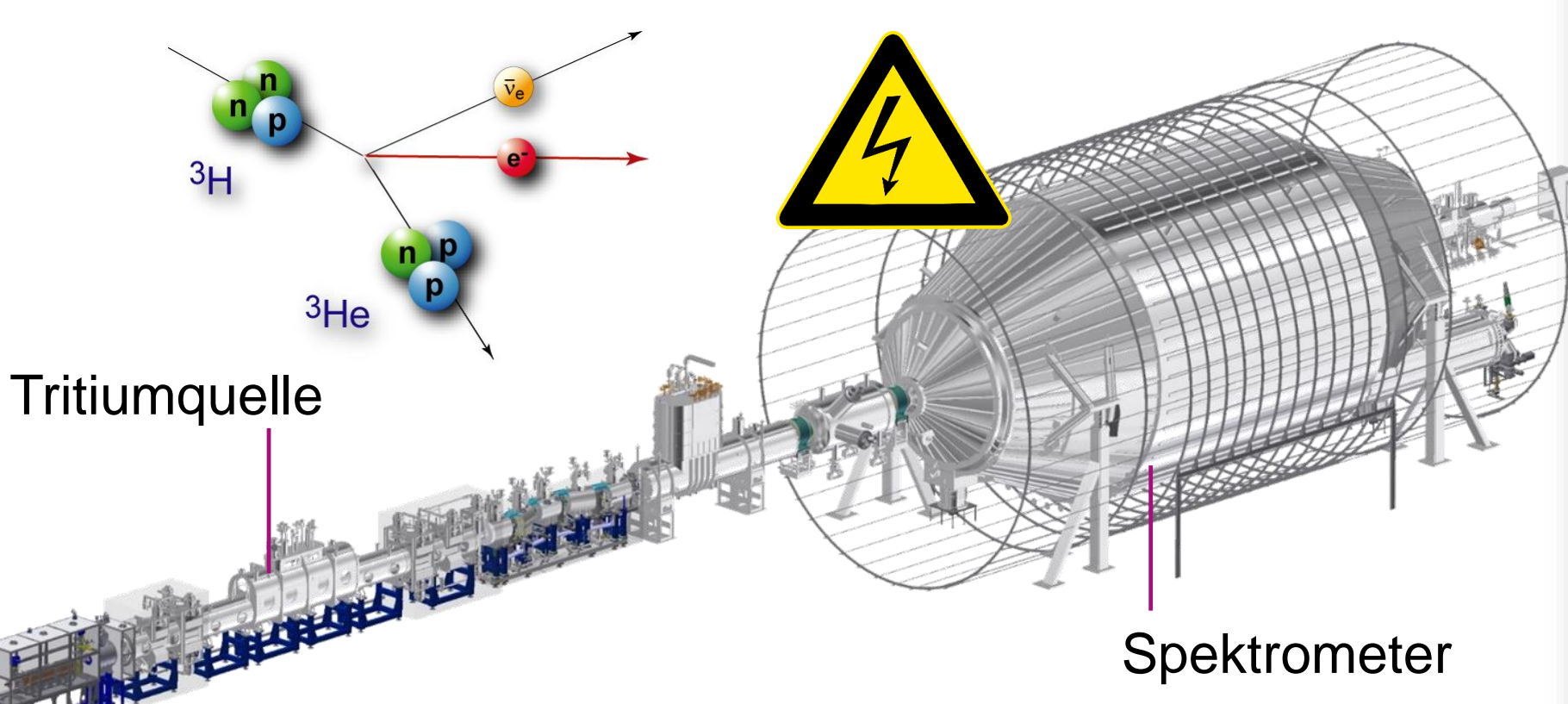
lacktriangle Berechnete Entwicklung eines Strahls von $\overline{
u}_e$ im MeV – Energiebereich

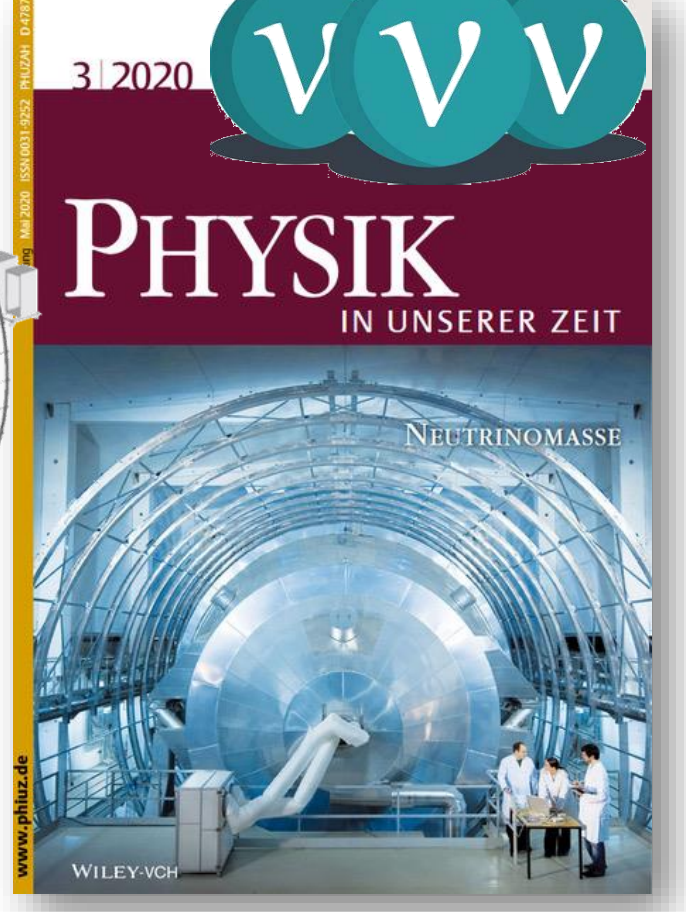




■ direkte, modellunabhängige Messung der Masse des Neutrinos

- ein 70 m langer Experimentieraufbau am Campus Nord





Mod. Ex. Phys. III VL 20



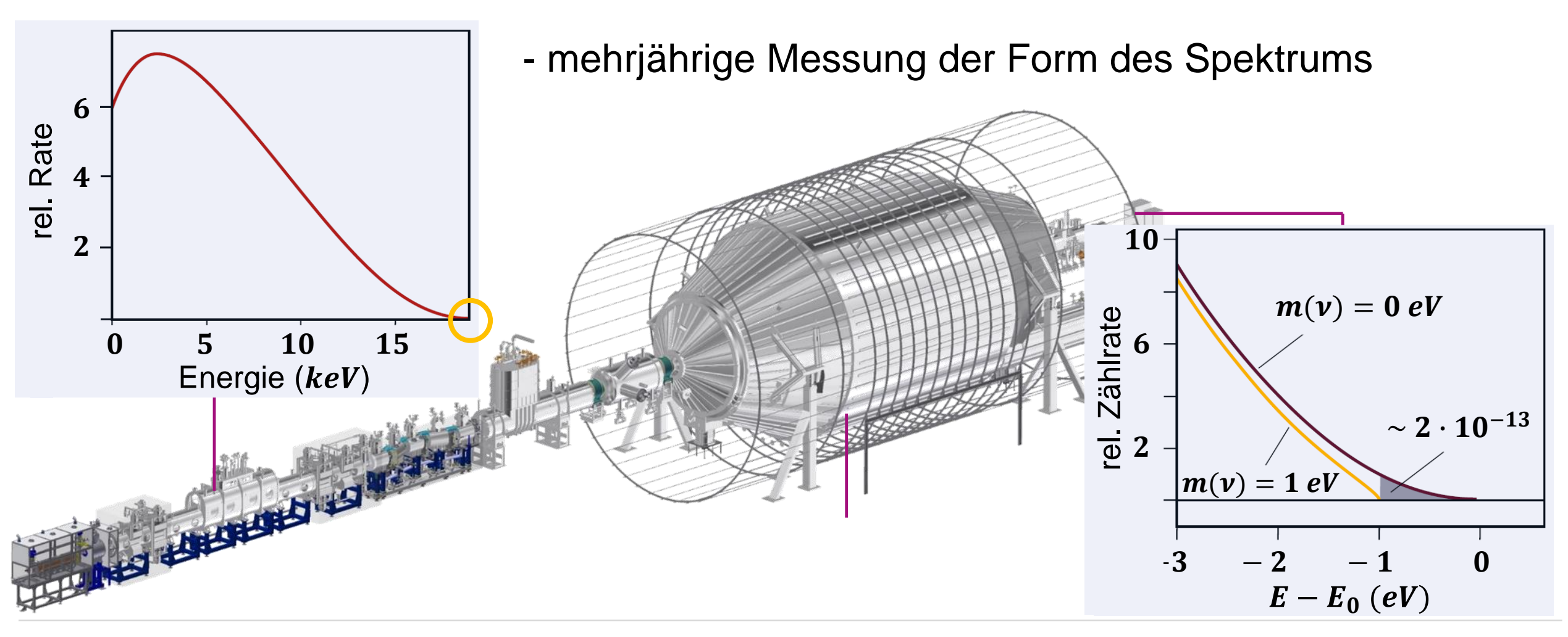
- direkte, modellunabhängige Messung der Masse des Neutrinos
 - ein 70 m langer Experimentieraufbau: großes elektrostatisches Spektrometer



Mod. Ex. Phys. III VL 20 Exp. Teilchenphysik - ETP

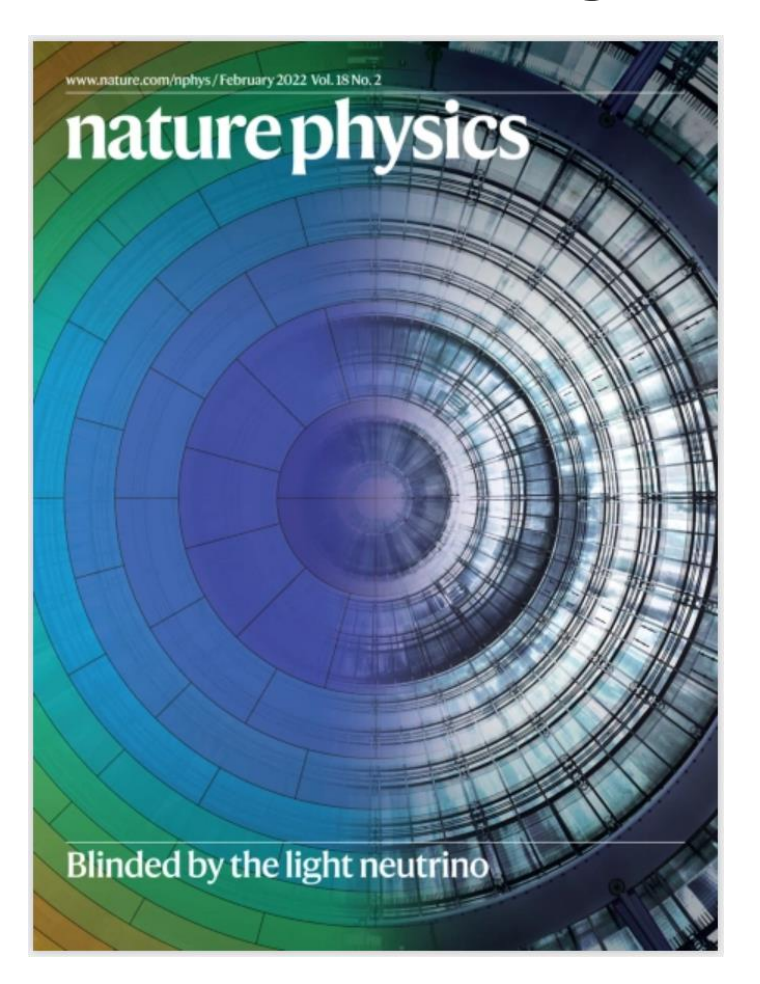


 \blacksquare Masse des Neutrinos: sehr kleine spektrale Modifikation am Endpunkt E_0

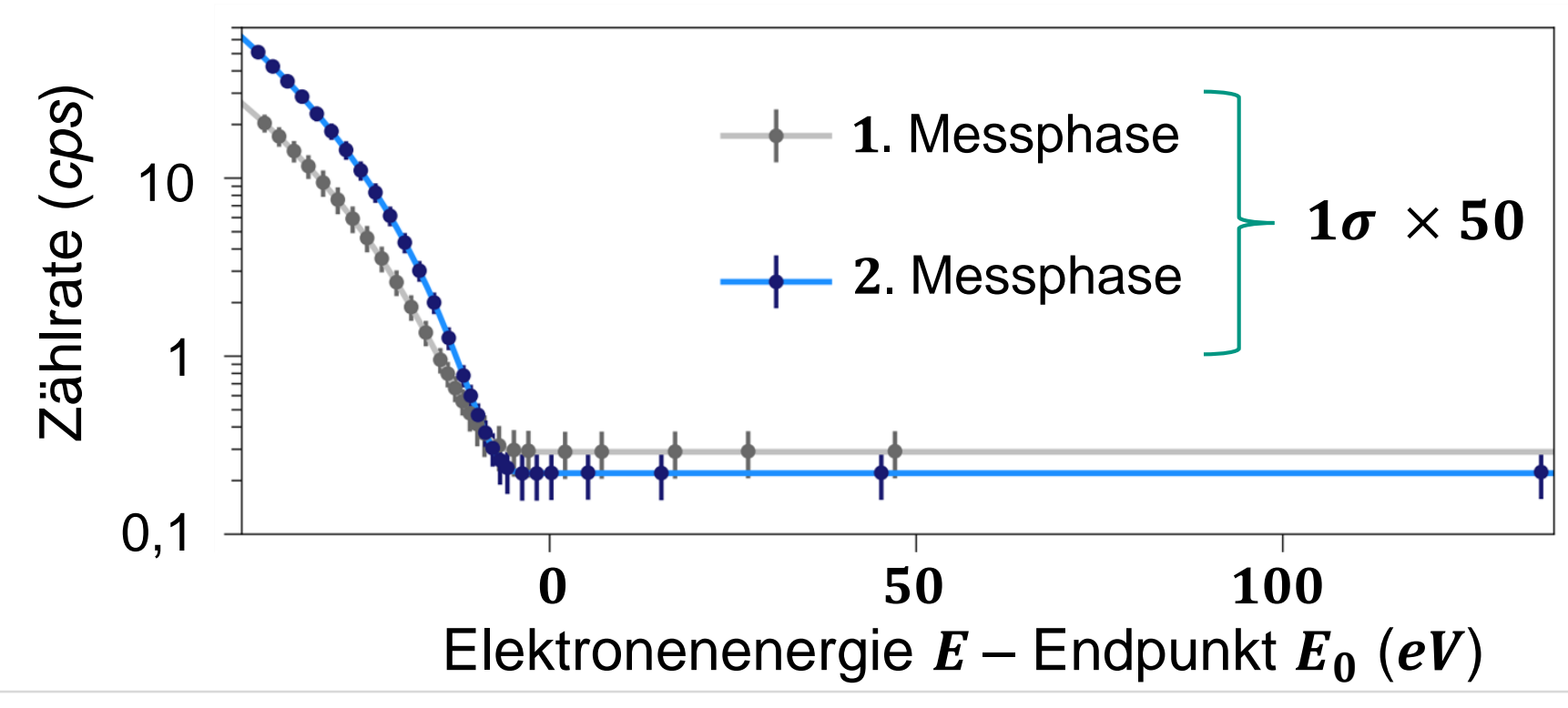




■ aktuelle Obergrenze, publiziert in Nature Physics: m(v) < 0.8 eV (90% CL)



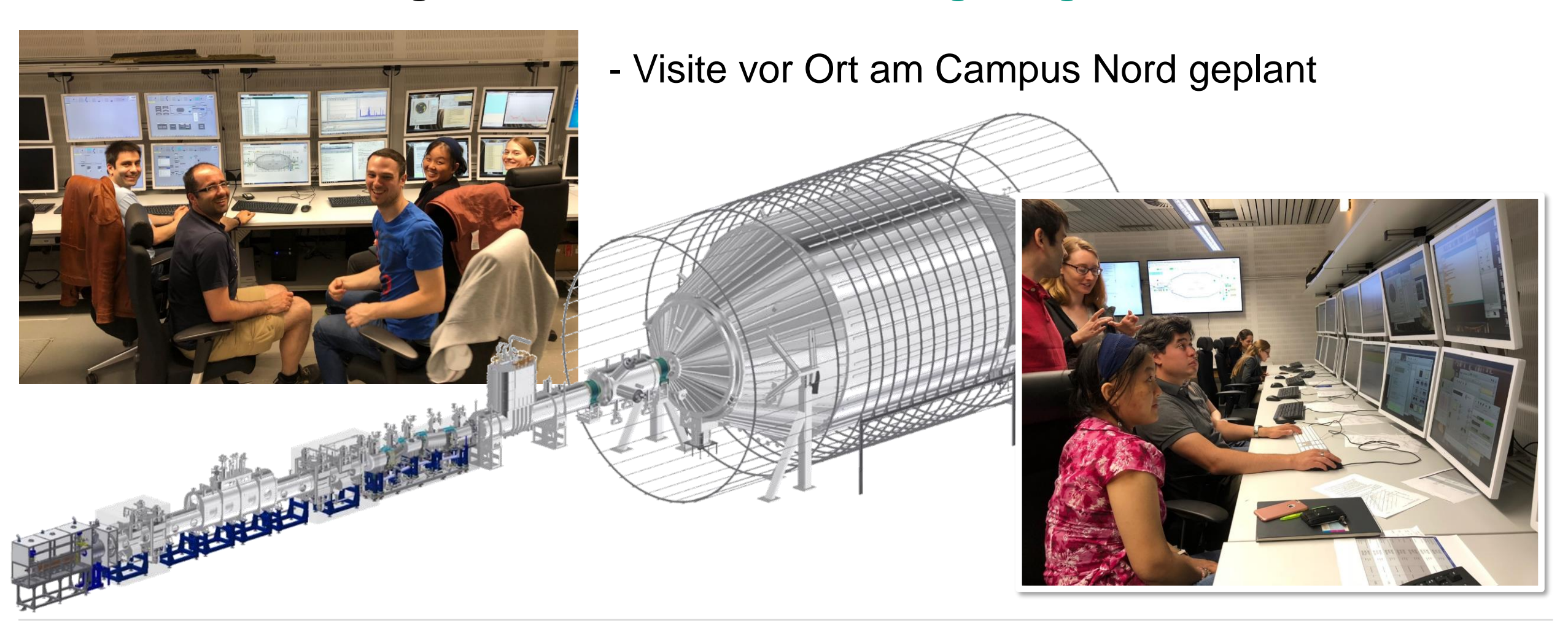
- basiert auf 7% der erwarteten gesamten Datenmenge
- kontinuierliche Verbesserung Signal rel. zu Untergrund



KATRIN Experiment: Messung der ν – Masse



■ weitere Messungen zu Neutrinos aus dem Big Bang, sterile Neutrinos...



Mod. Ex. Phys. III VL 20 Exp. Teilchenphysik - ETP











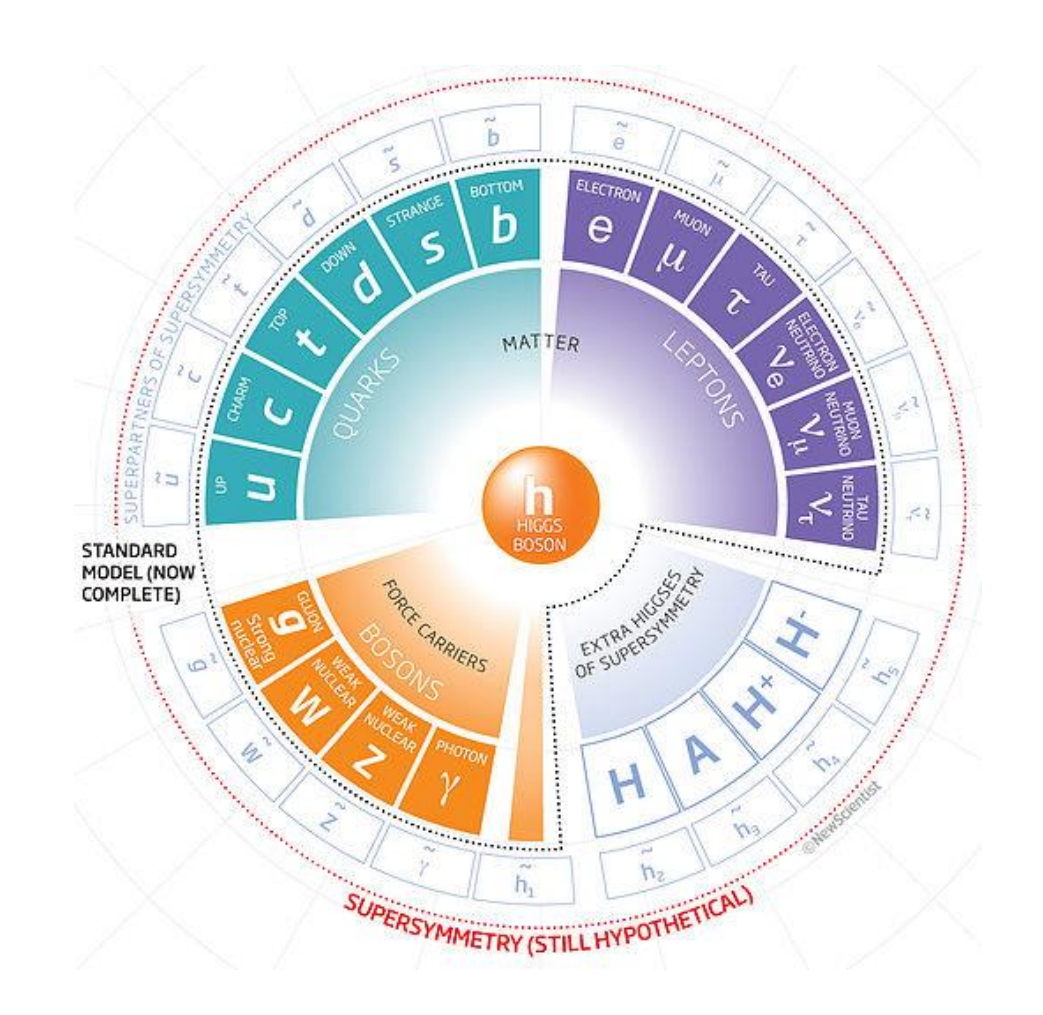


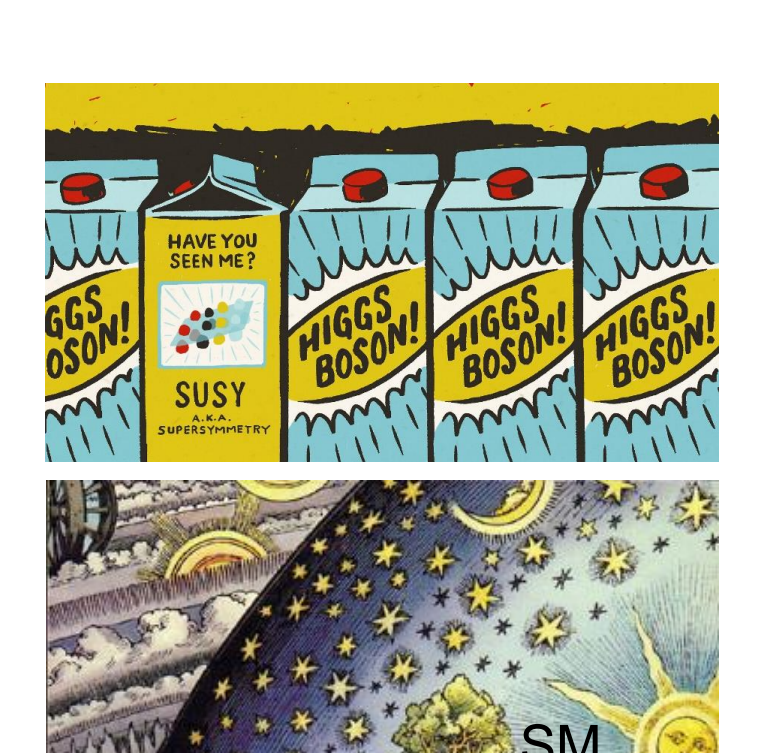




KAPITEL 9: QUERVERBINDUNGEN UND OFFENE FRAGESTELLUNGEN

Mod. Ex. Phys. III VL 20 Exp. Teilchenphysik - ETP









Mod. Ex. Phys. III VL 20 Exp. Teilchenphysik - ETP

Suche nach Dunkler Materie*

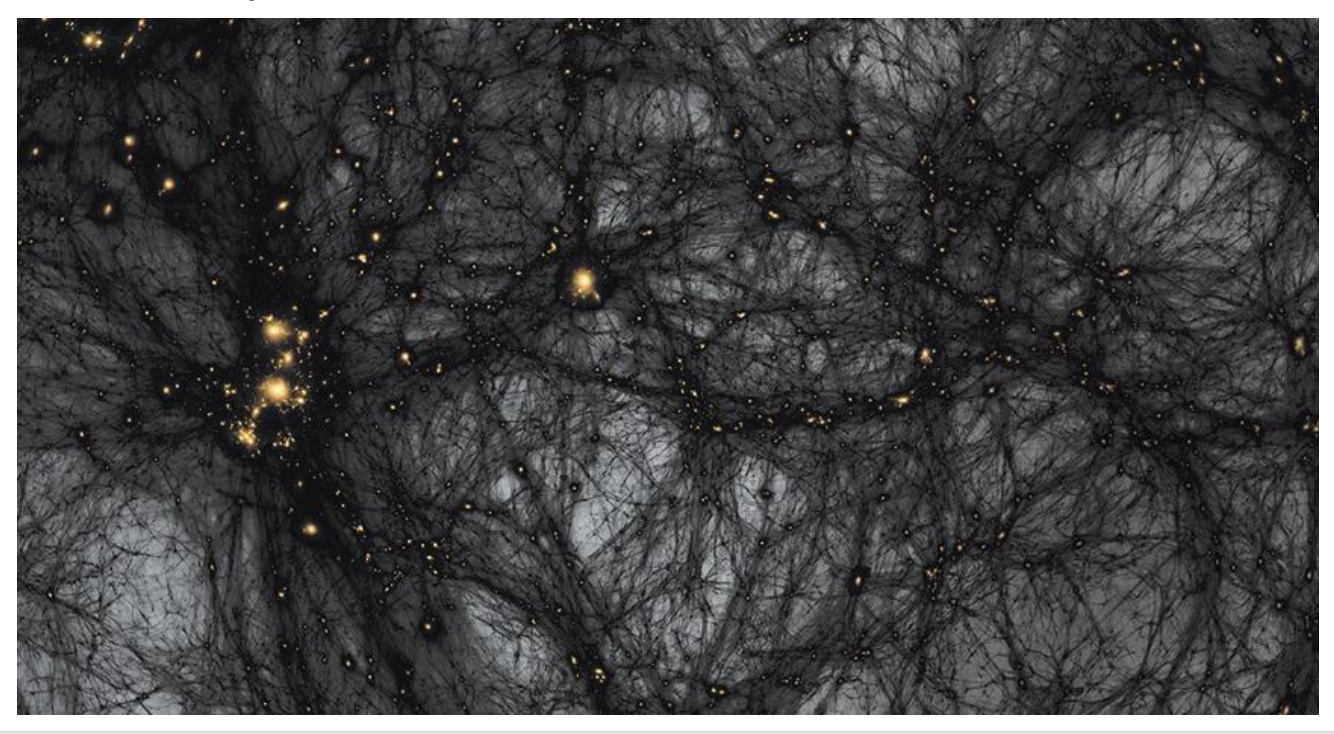


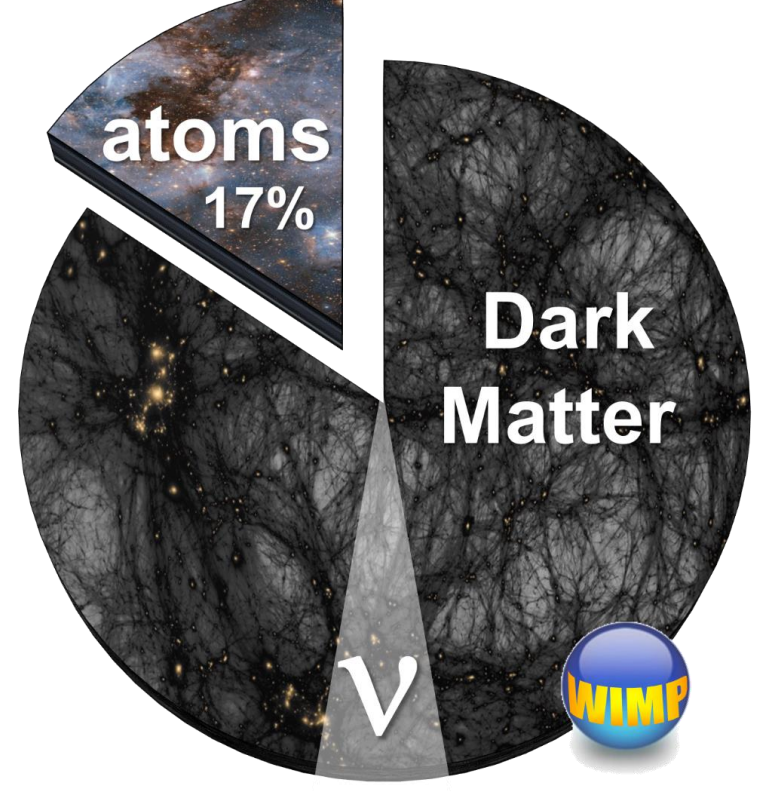
Astrophysikalische Beobachtungen: Dunkle Materie dominant

- Rotationskurven von Galaxien, Dynamik von Galaxienhaufen & Nachweis

von Gravitationslinsen: Dunkle Materie bestimmt die

Dynamik der Materie auf allen Skalen im Universum





Suche nach Dunkler Materie



■ Teilchenphysikalischer Ursprung der Dunklen Materie?

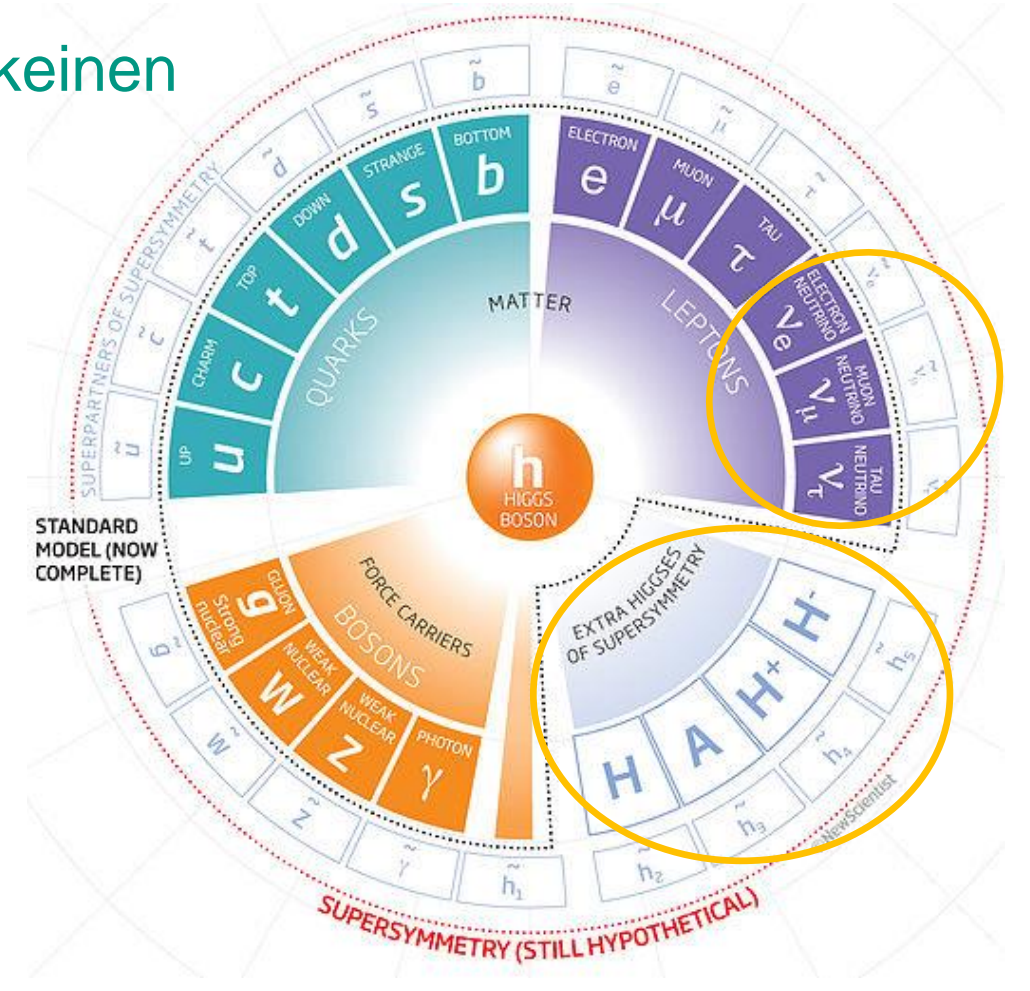
- Standardmodell (SM) enthält (bis auf $\nu_{e,\mu,\tau}$) keinen

Kandidaten für die **Dunkle Materie** (*DM*)

- Neutrinos $\nu_{e,\mu,\tau}$: Masse ist extrem klein, daher sub-dominanter Beitrag zur DM

- Neutrinos $v_{e,\mu,\tau}$: ideale 'Blaupause' für DM —Teilchen: neutral, keine starke Ww., interagiert nur über schwache Ww.

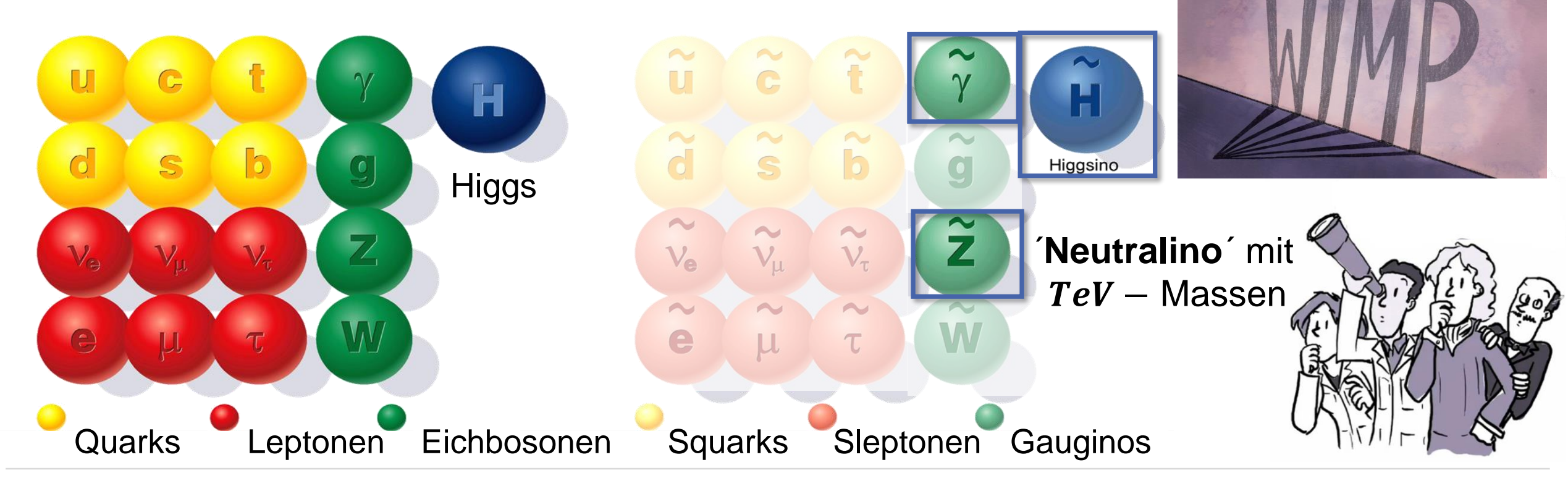
- viele **Theorien jenseits des** *SM* mit Kandidaten für Dunkle Materie (existiert ein '**Dunkler Sektor**'?)



Supersymmetrie – eine Theorie jenseits des *SM*



- SUSY enthält einen 'idealen' Kandidaten für Dunkle Materie: das WIMP
 - WIMP: Weakly Interacting Massive Particle auf der GeV ... TeV Skala
 - WIMP: Massenzustand, d.h. Mischung von Flavours

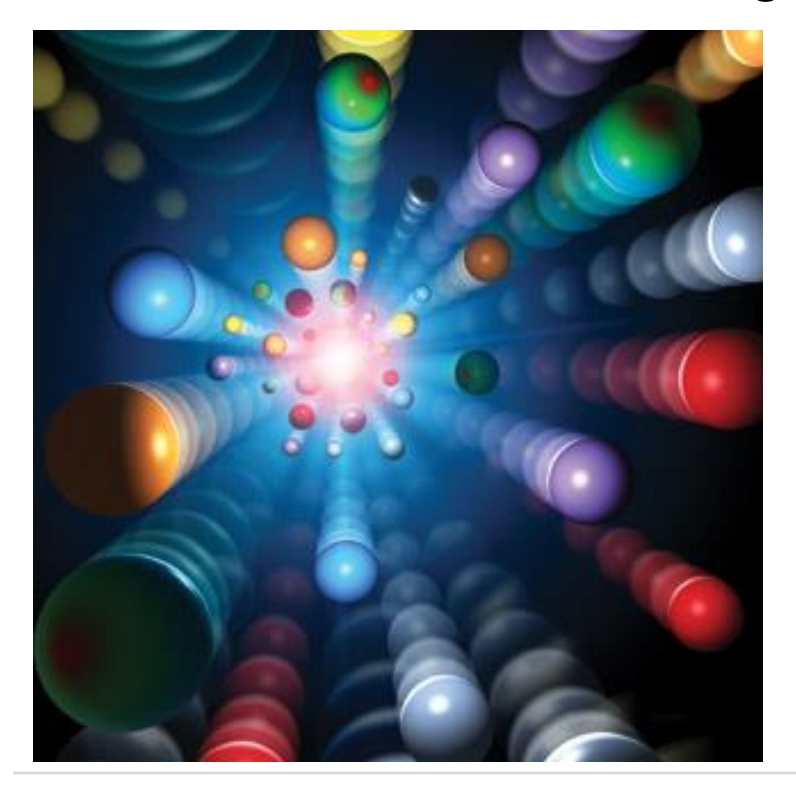


Supersymmetrie – eine Theorie jenseits des *SM*



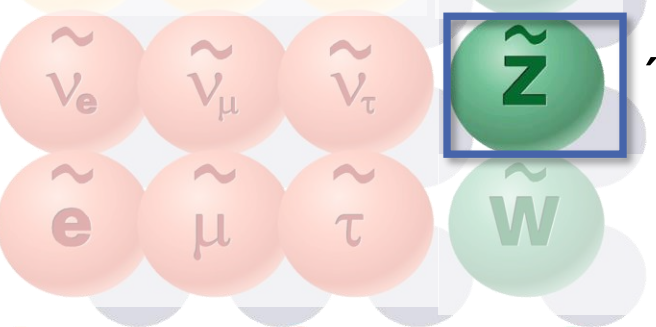
- das *WIMP miracle*: thermische Erzeugung von *WIMPs* im Big Bang*
 - WIMP: Erzeugung mit korrekter Dichte Ω_{DM} falls σ = schwache Ww.

- WIMP: kosmologisch stabil durch Symmetrie auf Basis:











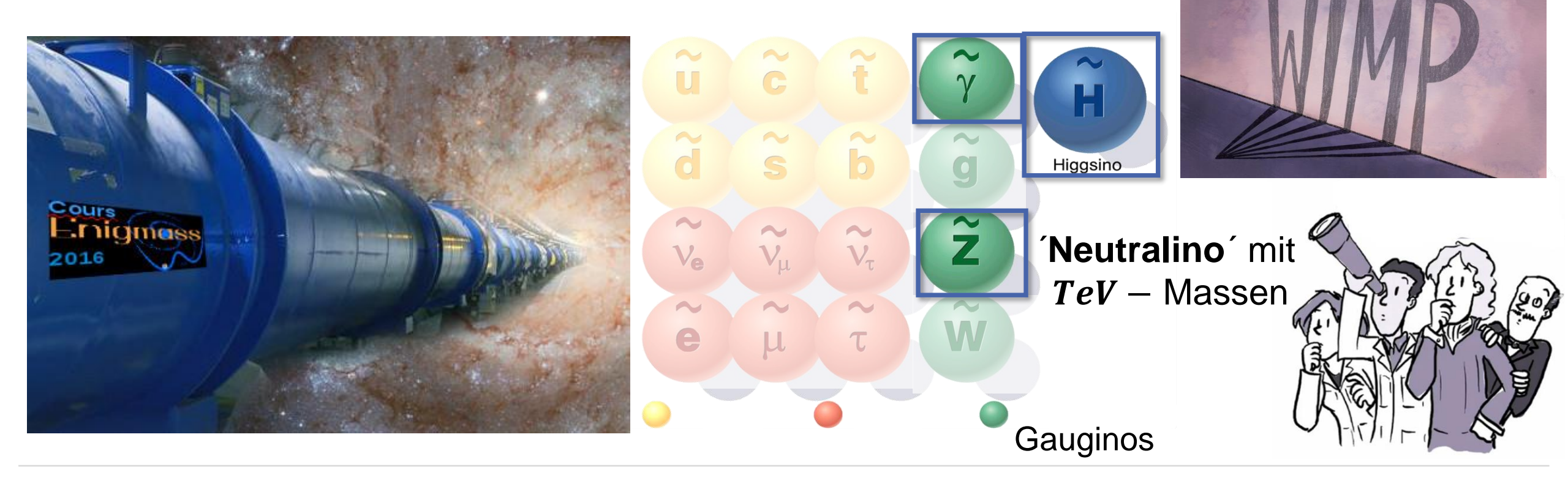


Gauginos

Supersymmetrie – eine Theorie wird getestet



- das WIMP & SUSY auf dem Teststand am LHC des CERN
 - Erzeugung von SUSY Teilchenpaaren in pp Kollisionen bei hohem \sqrt{s}
 - WIMP: am Ende einer SUSY Zerfallskette

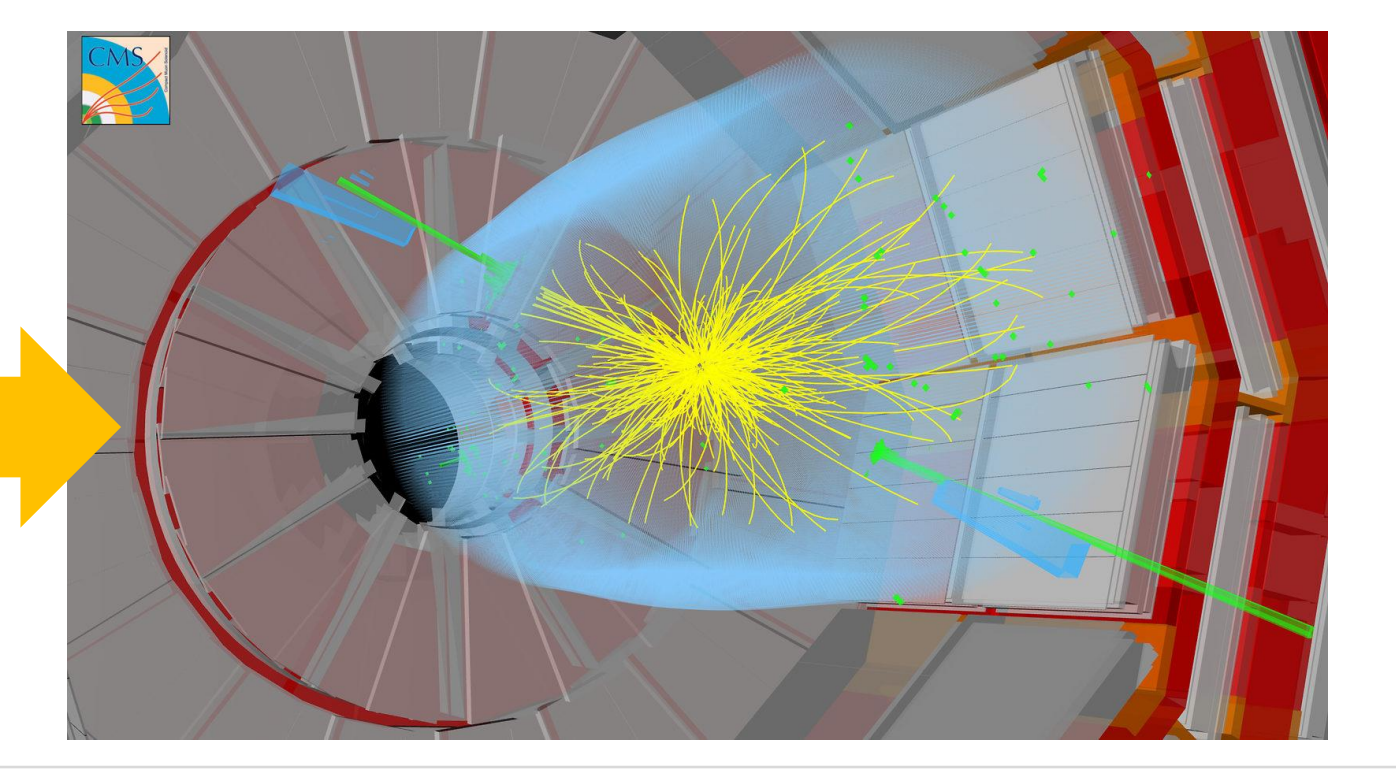


Supersymmetrie – eine Theorie wird getestet



- das WIMP & SUSY auf dem Teststand am LHC des CERN
 - Erzeugung von *SUSY* Teilchenpaaren: extrem seltene Prozesse
 - WIMP: am Ende einer SUSY Zerfallskette via fehlende Transversalenergie





Mod. Ex. Phys. III VL 20

6.7.2023

Supersymmetrie – eine Theorie wird getestet



- das WIMP & SUSY auf dem Teststand am LHC des CERN
 - Erzeugung von *SUSY* Teilchenpaaren: extrem selten
 - WIMP: am Ende einer SUSY Zerfallskette









KAPITEL 9.2: ASTROTEILCHENPHYSIK UND KOSMOLOGIE

Mod. Ex. Phys. III VL 20 Exp. Teilchenphysik - ETP

6.7.2023

Astro Teilchen Physik – Themengebiete



ein neues & spannendes Themengebiet* Teilchenphysik H Kosmo-Astrologie physik Verbindung zwischen dem

Mod. Ex. Phys. III VL 20

*Master-VL: Astroteilchenphysik - I, II

Mikro- & Makrokosmos

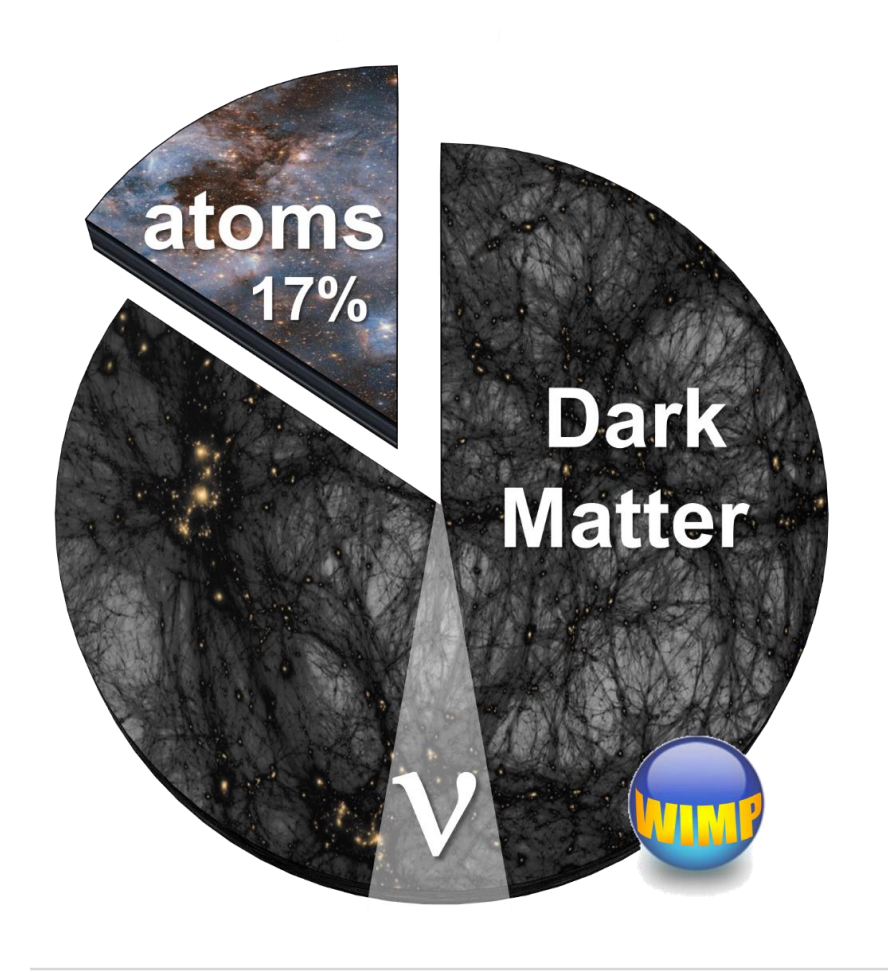
Q: NASA

Q: wikipedia

Kosmologie: Dunkle Materie & Neutrinos



■ Neutralinos (WIMPs) & Neutrinos aus dem Universum: Rolle & Eigenschaften





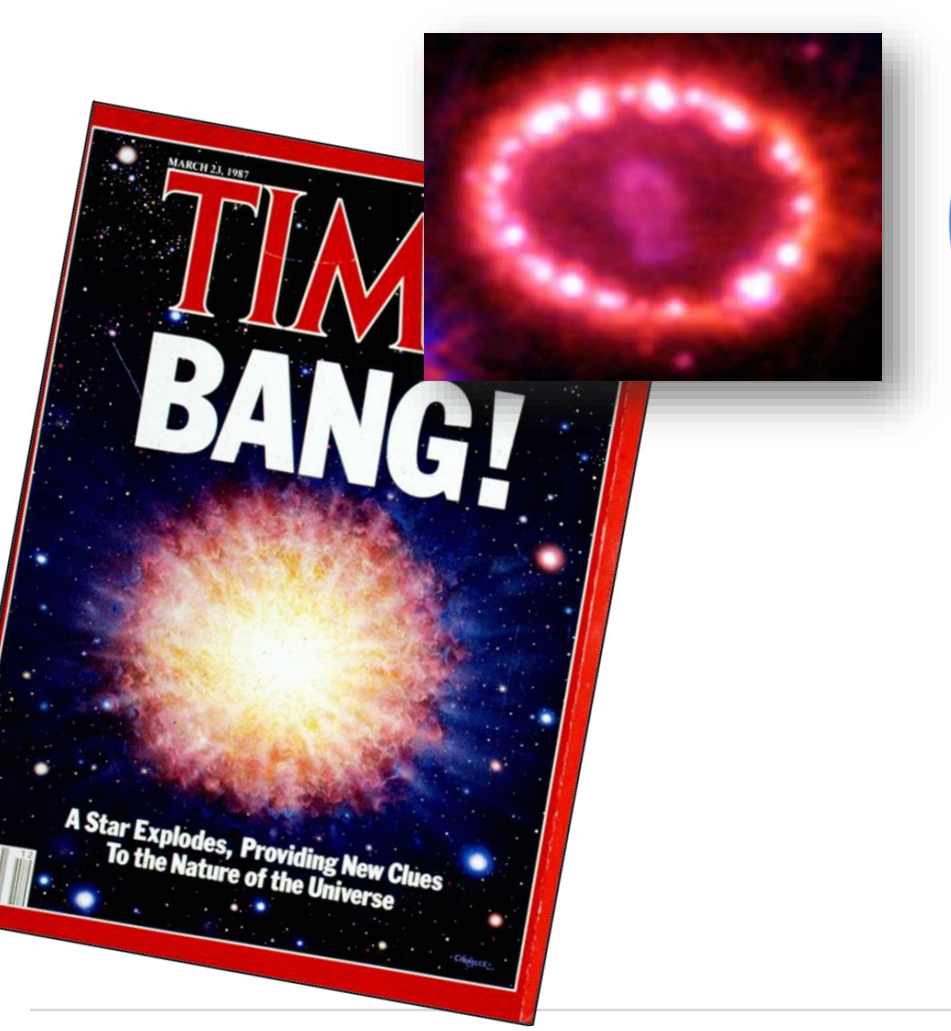
- massive Neutralinos als
 Kalte Dunkle Materie
- massebehaftete Neutrinos als
 Heiße Dunkle Materie



Supernovae: ein faszinierendes Thema



Neutrinos als effektivste Sternkühlung im Universum





- Neutrinos lassen uns live ins 'Herz' einer Kernkollaps—Supernova blicken
- neue Detektoren (Hyper–Kamiokande)
 schauen über unsere Galaxis hinaus



Mod. Ex. Phys. III VL 20 Exp. Teilchenphysik - ETP







Bachelorarbeit Masterstudium



KAPITEL 10: ZUSAMMENFASSUNG UND AUSBLICK

Teilchen- & Astroteilchenphysik: ein Ausblick



Es gibt noch viel zu erforschen, nicht nur im Bachelor!

THE UNIVERSE AS WE KNOW IT:

Dunkle Materie

Neutrinos und Masse

erweiterte Higgs-Eigenschaften

WE HAVE NO FREAKING IDEA.



QCD – Farbkraft

Strukturfunktionen

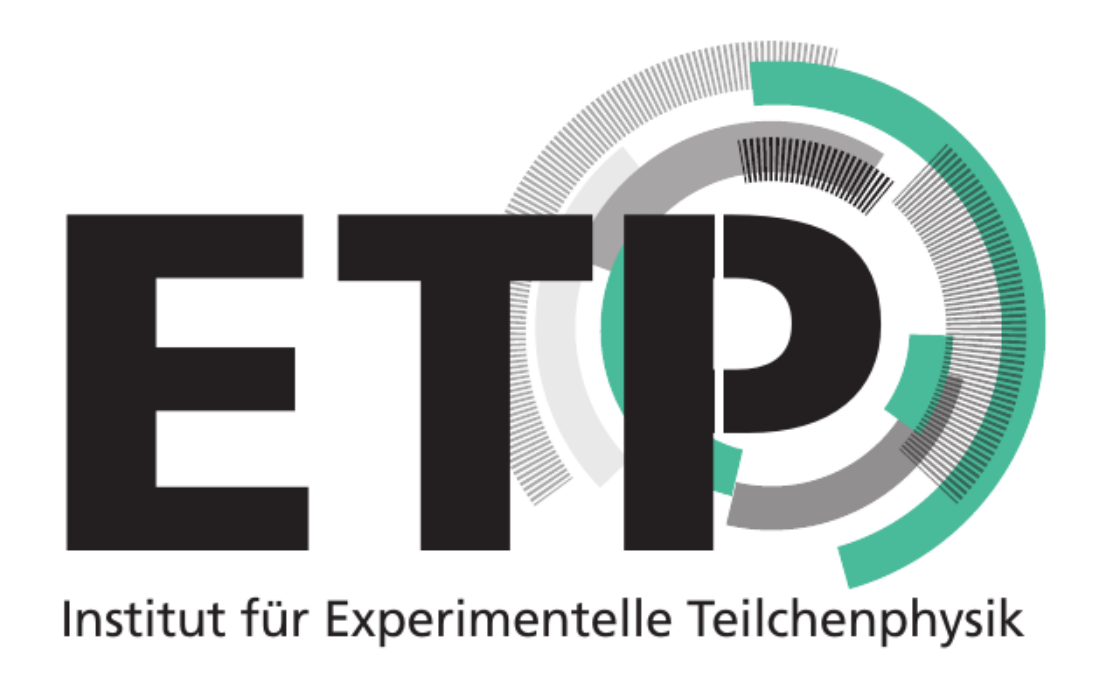
ETP & IAP bieten tolle Themen!



Teilchen- & Astroteilchenphysik: ein Ausblick



- spannende Forschungsthemen, nicht nur im Bachelor!
 - zwei forschungsstarke Institute am *KIT* mit einer gemeinsamen Motivation: auf der Suche nach neuen Phänomenen und Effekten jenseits des *SM*





Mod. Ex. Phys. III VL 20 Exp. Teilchenphysik - ETP

6.7.2023

Forschungsthema: Teilchenphysik am *LHC*



■ Hochenergiephysik mit dem *CMS* Experiment am Large Hadron Collider



Markus Klute



Ulrich Husemann



Günter Quast

...Datenanalyse / Computing / CMS - Hardware - Upgrades ...

6.7.2023 Mod. Ex. Phys. III VL 20 Exp. Teilchenphysik - ETP

Forschungsthema: Teilchenphysik an *BELLE – II*



■ Flavourphysik mit dem BELLE II Experiment am SuperKEKB Collider



Belle II

Thorben Ferber

...Datenanalyse / Flavourphysik / *DM* — Suche...

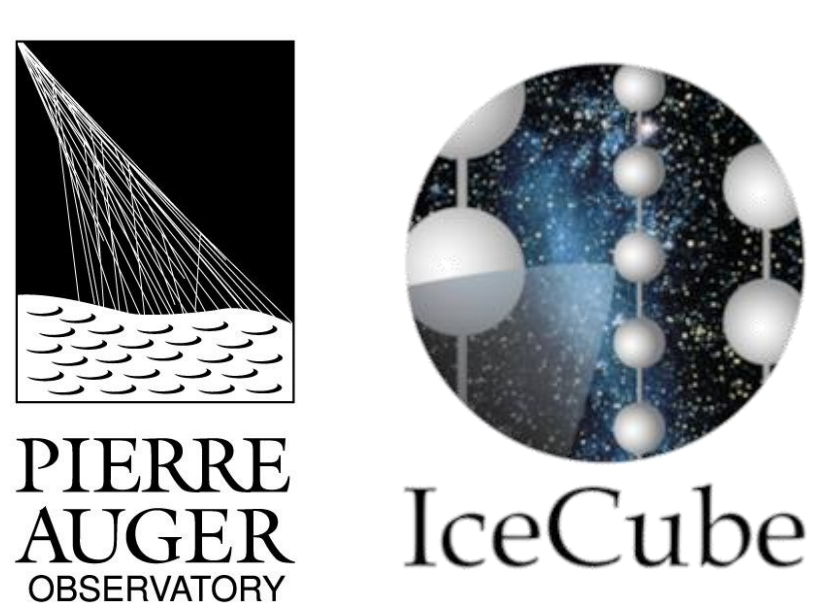
55 6.7.2023 Mod. Ex. Phys. III VL 20 Exp. Teilchenphysik - ETP

Forschungsthema: Cosmic Rays & UHE Neutrinos

Astroteilchenphysik mit den Observatorien Pierre Auger & IceCube



Ralph Engel



...Datenanalyse / Cosmic Ray & $UHE - \nu$ -Physik / Hardware...

56 Mod. Ex. Phys. III VL 20 6.7.2023 Exp. Teilchenphysik - ETP

Forschungsthema: Neutrinos & Dunkle Materie



■ Astroteilchenphysik mit den Experimenten KATRIN, XENON, DARWIN,...



Guido Drexlin





Kathrin Valerius

...Datenanalyse / ν – Physik / Suche nach DM / Hardware / FuE...

57 6.7.2023 Mod. Ex. Phys. III VL 20 Exp. Teilchenphysik - ETP

Masterstudium: ideal hier am *KIT* – es lohnt sich! <



eine extrem forschungsstarke Fakultät: Teilchen & Astroteilchenphysik

Teilchenphysik

TP:

Teilchenphysik I

TP – II – Flavourphysik

TP - II - Top-Quarks/Jets

TP - II - W, Z, Higgs

Datenanalyse

Detektoren

MC Generatoren

Hauptseminar TP & TTP

Hauptseminar Collider

Astroteilchenphysik

ATP:

Astroteilchenphysik *I* Kosmologie

ATP – II – Teilchen & Sterne

 $ATP - II - Gammas \& \nu's$

ATP - II - Kosmische Strahlung

Beschleunigerphysik

Detektoren

Messmethoden / Elektronik

Hauptseminar ATP

Modulhandbuch Physik Master 2015 (Master of Science)

Sommersemester 2023 Stand 09.03.2023

KIT-FAKULTÄT FÜR PHYSIK



KIT – Die Forschungsuniversität in der Helmholtz-Gemeinschaft

www.kit.edu

Masterstudium & beyond: internationale Kontakte!

Beyond KIT: wichtige Erfahrungen sammeln bei unseren weltweiten Partnern



THE END



■ von dieser Vorlesung ... auf zu einer erfolgreichen Karriere!!



Danke für ihr Interesse & ihre Aufmerksamkeit!

Mod. Ex. Phys. III VL 20 Exp. Teilchenphysik - ETP

6.7.2023